

电子电路与系统基础I

理论课第十一讲 局部线性法原理

非线性电路的交直流分析方法

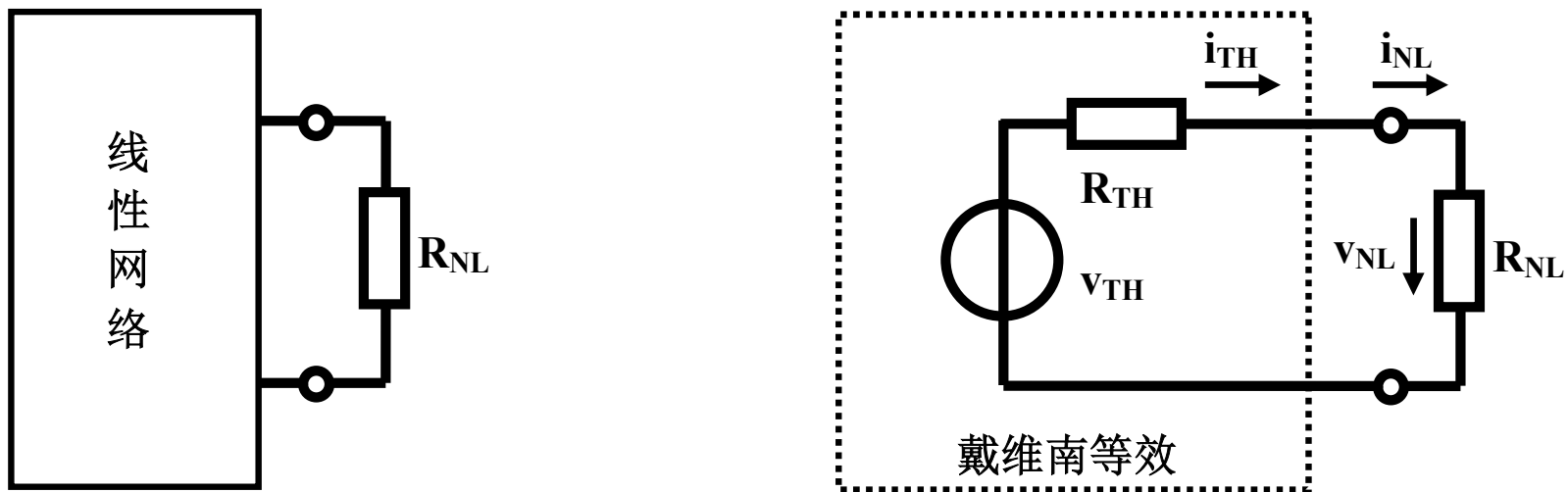
李国林

清华大学电子工程系

局部线性法原理 大纲

- 单端口非线性电阻
 - 局部线性化原理
 - 两个例子
 - **PN结二极管**: 微分电阻
 - **隧道二极管**: 微分负阻做放大器
 - 耦合电容, 扼流圈动态元件的通断开关模型
 - 直流能量到交流能量的能量转换
 - 线性范围
- 二端口非线性电阻
 - 局部线性化原理
 - **CE组态放大器分析例**

一、单端口非线性电阻



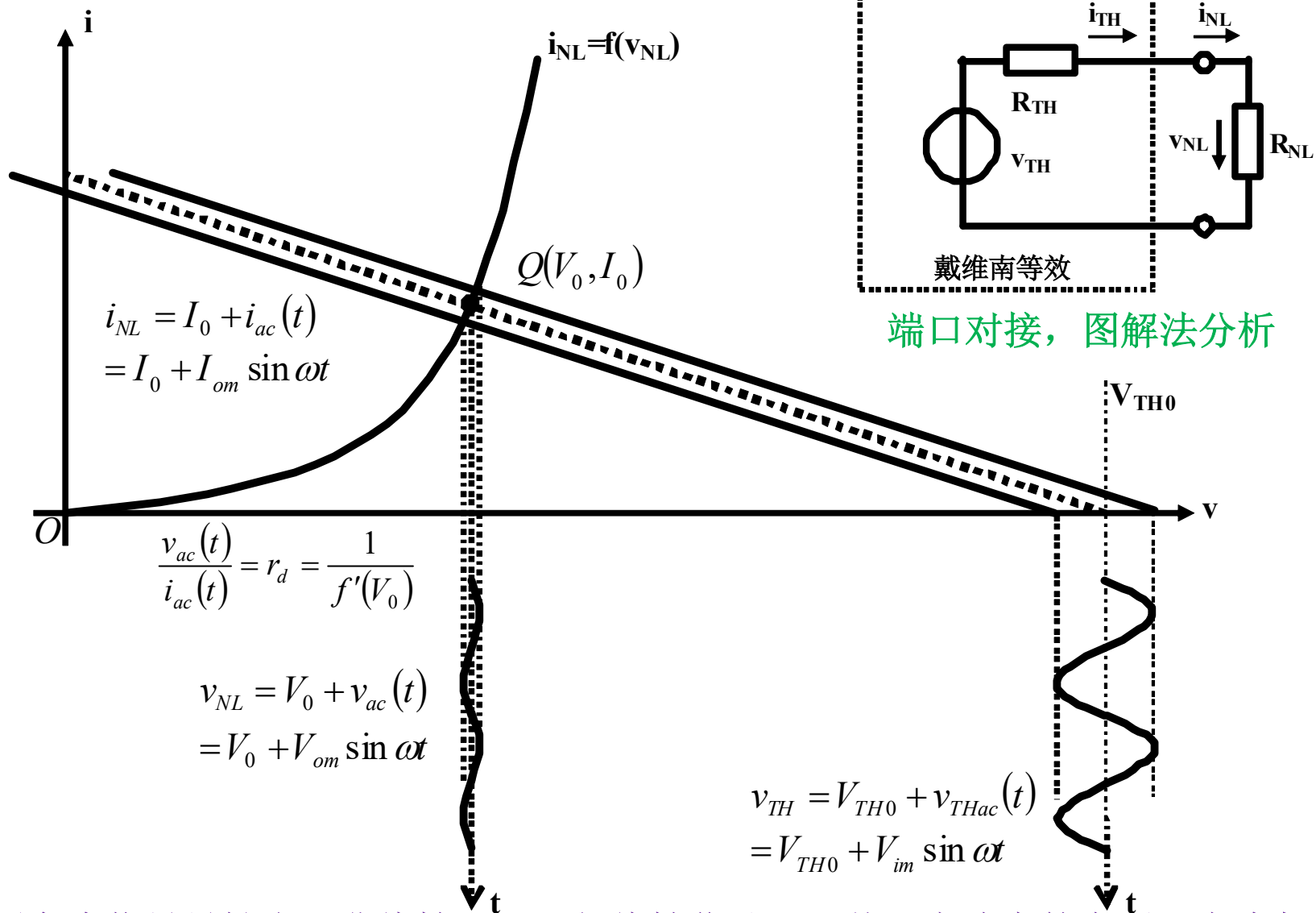
假设线性网络中包含直流偏置电源和交流小信号激励源

戴维南等效源也可分解为直流项（时间无关常数项）和交流项（随时间变化项）

假设交流信号很小

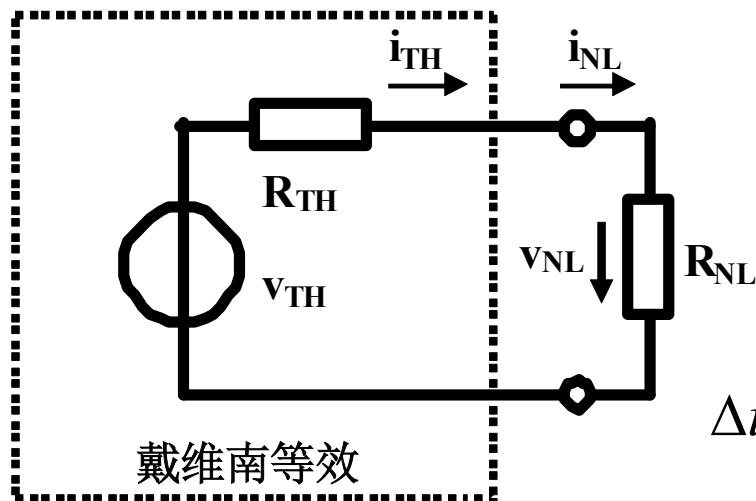
$$v_{TH}(t) = V_{TH0} + v_{THac}(t)$$

图解法原理性分析



只要交流信号足够小，非线性即可局部线性化处理，从而电路中的电压、电流都可以分解为直流分量加小信号交流分量，且交流分量变化规律完全由激励源决定：交流小信号符合线性规律：交流信号足够小，局部对交流信号而言则是线性的

局部线性：微分电阻

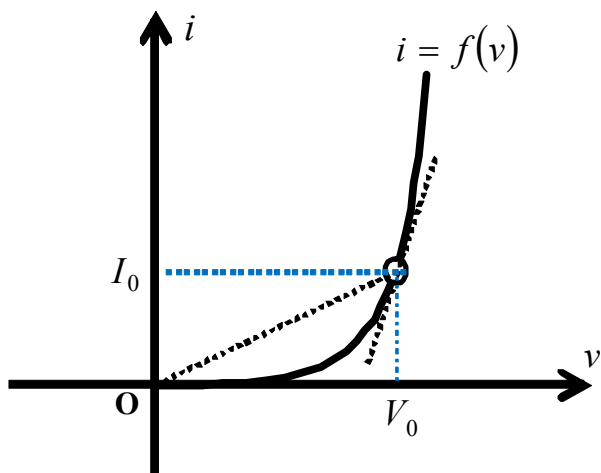


$$\begin{aligned}
 i &= f(v) = f(V_0 + \Delta v) \\
 &= f(V_0) + f'(V_0)\Delta v + \frac{1}{2!}f''(V_0)\Delta v^2 + \frac{1}{3!}f'''(V_0)\Delta v^3 + \dots \\
 &\approx f(V_0) + f'(V_0)\Delta v = I_0 + \Delta i
 \end{aligned}$$

$$\Delta i = f'(V_0)\Delta v$$

$$r_d = \frac{\Delta v}{\Delta i} = \frac{1}{f'(V_0)}$$

直流工作点上，极小的电压电流波动，波动电压、电流近似为线性关系：**局部线性关系**：线性比值定义为微分电阻，增量电阻



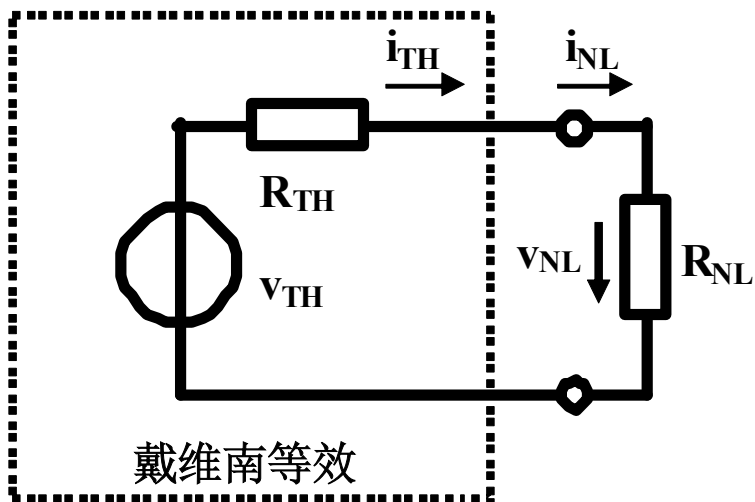
例：PN结二极管

$$i_D = I_{S0} \left(e^{\frac{v_D}{v_T}} - 1 \right)$$

$$\begin{aligned}
 r_d &= \frac{1}{\left. \frac{di_D}{dv_D} \right|_Q} = \frac{1}{\left. \frac{I_{S0}}{v_T} e^{\frac{v_D}{v_T}} \right|_Q} \\
 &\approx \frac{1}{\frac{I_{D0}}{v_T}} = \frac{v_T}{I_{D0}}
 \end{aligned}$$

$$I_{D0} = I_{S0} \left(e^{\frac{V_{D0}}{v_T}} - 1 \right) \approx I_{S0} e^{\frac{V_{D0}}{v_T}}$$

交直流分析



$$\frac{v_{TH} - v_{NL}}{R_{TH}} = i_{TH} = i_{NL} = f(v_{NL})$$

$$v_{TH}(t) = V_{TH0} + v_{THac}(t)$$

$$v_{NL} = V_0 + v_{ac}(t) \quad \leftarrow \text{交流小信号}$$

$$i_{NL} = I_0 + i_{ac}(t) \quad \leftarrow \text{交流小信号}$$

数学描述

$$\frac{V_{TH0} + v_{THac}(t) - (V_0 + v_{ac}(t))}{R_{TH}} = f(V_0 + v_{ac}(t)) \approx f(V_0) + f'(V_0)v_{ac}(t)$$

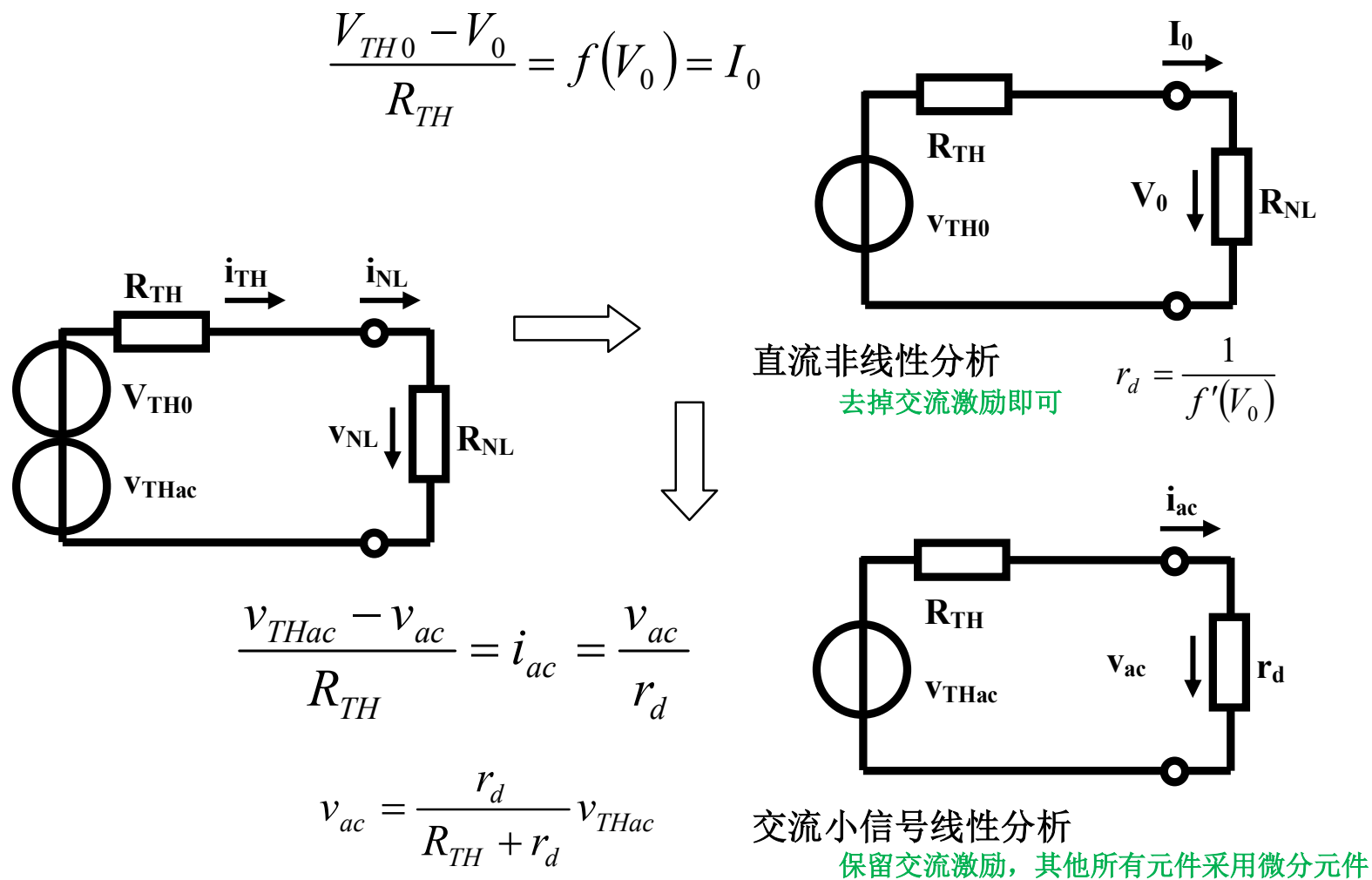
和时间无关的直流项:

$$\frac{V_{TH0} - V_0}{R_{TH}} = f(V_0) = I_0$$

随时间相同规律变化的交流项:

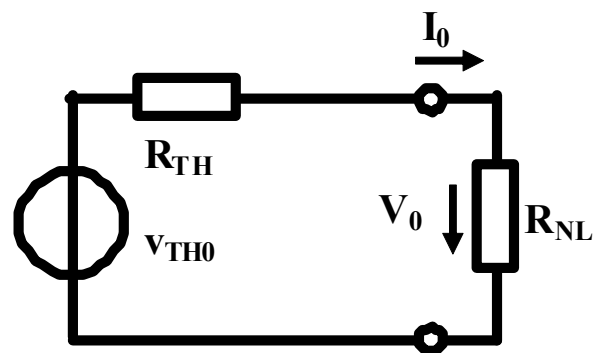
$$\frac{v_{THac} - v_{ac}}{R_{TH}} = f'(V_0)v_{ac} = i_{ac} = \frac{v_{ac}}{r_d}$$

交直流分析 电路描述



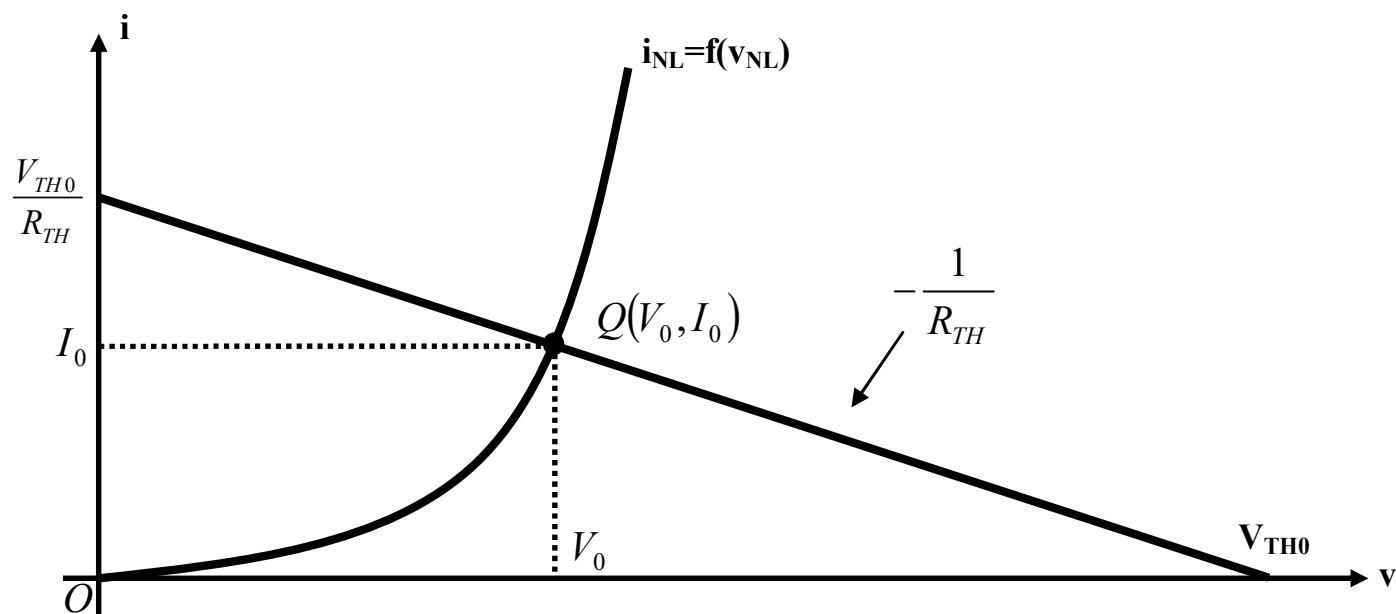
电路分析可分解为直流非线性分析和交流小信号线性分析
 先直流分析，后交流分析
 交流小信号微分电阻是直流工作点上的微分元件

先直 流分 析



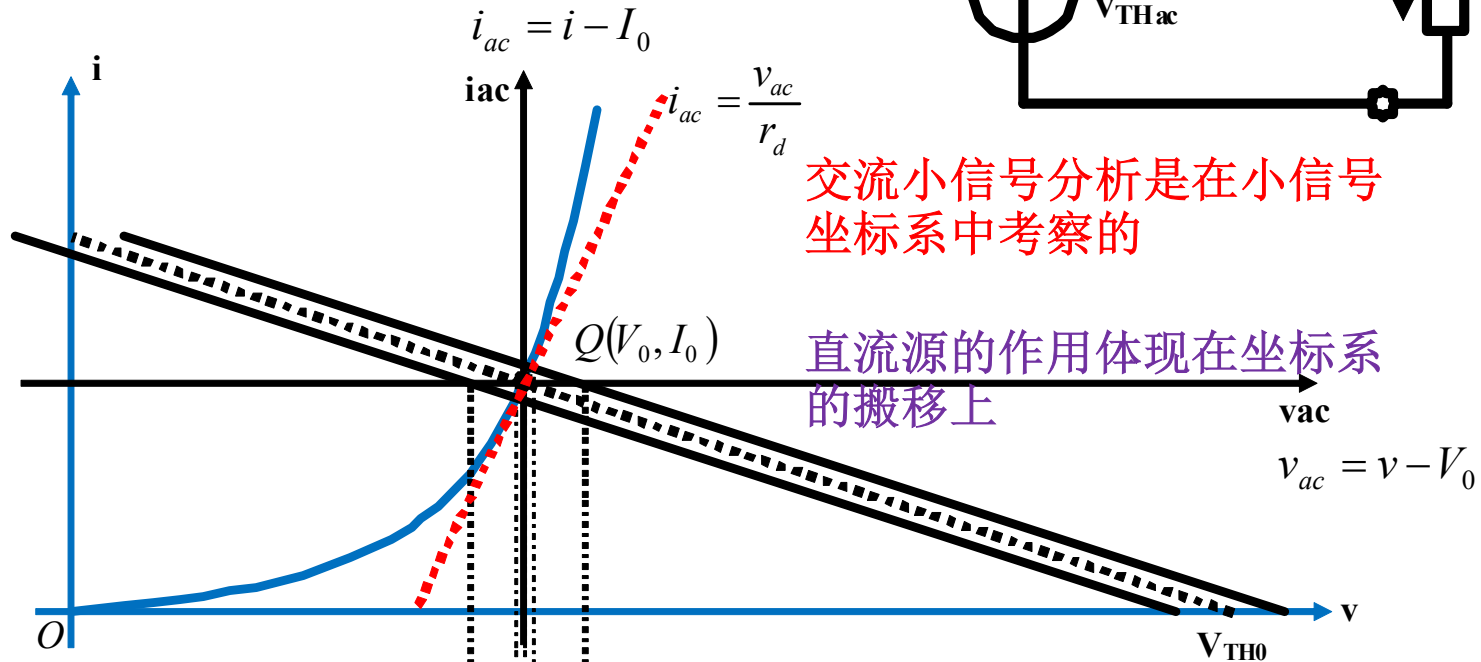
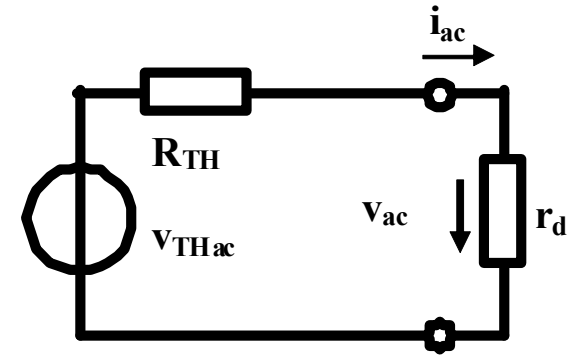
电路中保留直流源的作用

获得直流工作点 $Q(V_0, I_0)$ 的方法不限，可以是解析法、数值法、图解法，如果精度要求不很高，也可采用分段折线法。



后交流小信号分析

$$v_{ac} = \frac{r_d}{R_{TH} + r_d} v_{THac}$$



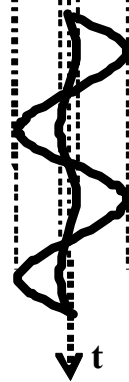
交流小信号分析是在小信号坐标系中考察的

直流源的作用体现在坐标系的搬移上

电路中保留交流源的激励

$$v_{ac} = V_{om} \sin \omega t$$

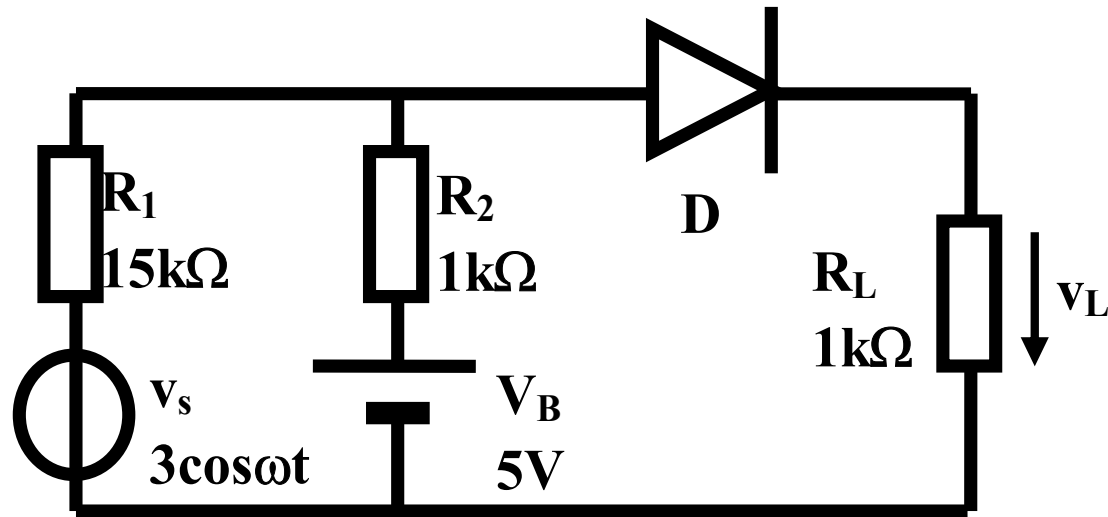
$$V_{om} = \frac{r_d}{R_{TH} + r_d} V_{im}$$



$$v_{THac} = V_{im} \sin \omega t$$

其他所有元件都用微分线性元件替代：线性电阻还是线性电阻，电压源短路，电流源开路，非线性电阻用微分电阻替代：交流小信号分析是线性电路分析，可以采用线性分析的任意方法

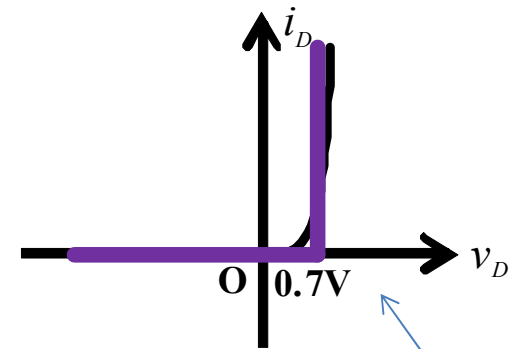
例1：二极管开关传输例



$V_B=0$ ，二极管截止，信号无法传输

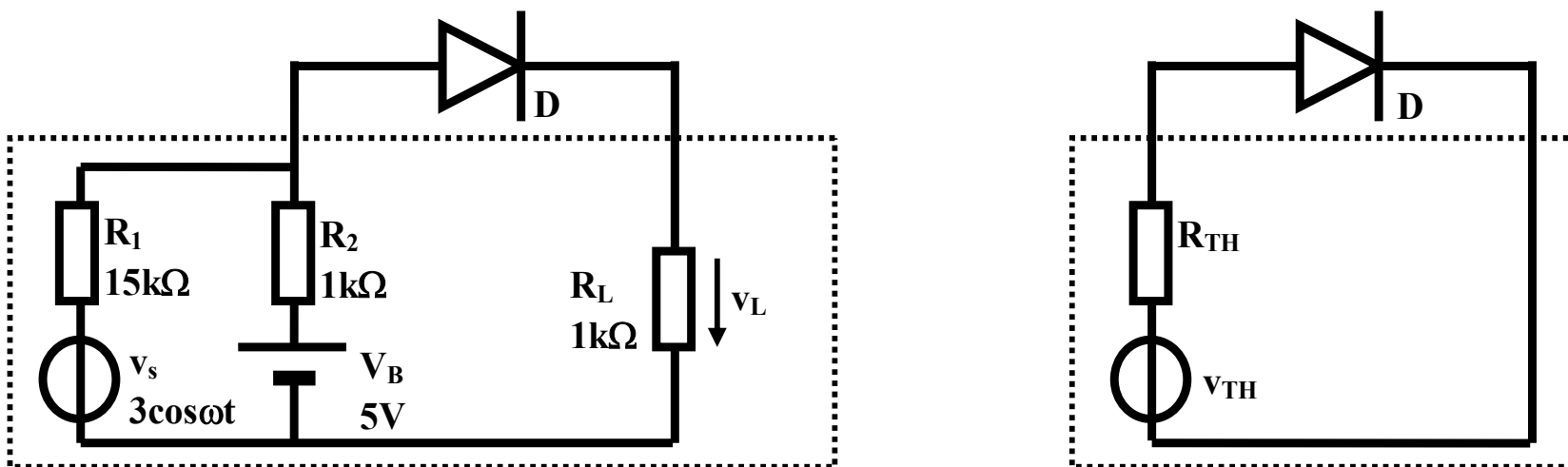
$V_B=5V$ ，二极管导通，信号可以传输

分段折线模型分析时，二极管开关导通则 $0.7V$ 恒压源替代， $0.7V$ 恒压源微分电阻为 0 ，故而对小信号而言，二极管是短接的？这个分析误差有多大？这里考虑其非零的微分电阻



分段折线模型假设微分电阻为 0 ，误差是否可以接受？

线性电路戴维南等效

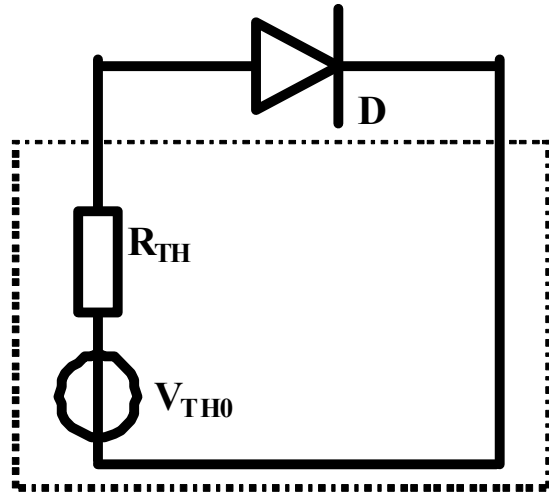


$$V_{TH0} = \frac{R_1}{R_1 + R_2} V_B = \frac{15}{15 + 1} \times 5 = 4.6875V$$

$$v_{THac} = \frac{R_2}{R_1 + R_2} V_B = \frac{1}{15 + 1} \times 3 \cos \omega t = 0.1875 \cos \omega t (V)$$

$$R_{TH} = R_L + R_1 \parallel R_2 = 1k + 15k \parallel 1k = 1.9375k\Omega$$

先直流分析



$$V_{TH0} = 4.6875V$$

$$R_{TH} = 1.9375k\Omega$$

可以采用牛顿拉夫逊迭代法求解：同学自行练习，假设 $I_{S0}=10fA$

这里采用分段折线法：判断二极管是导通的，则用**0.7V**恒压源替代

$$I_{D0} = \frac{V_{TH0} - 0.7}{R_{TH}} = \frac{4.6875 - 0.7}{1.9375k} = 2.058mA$$

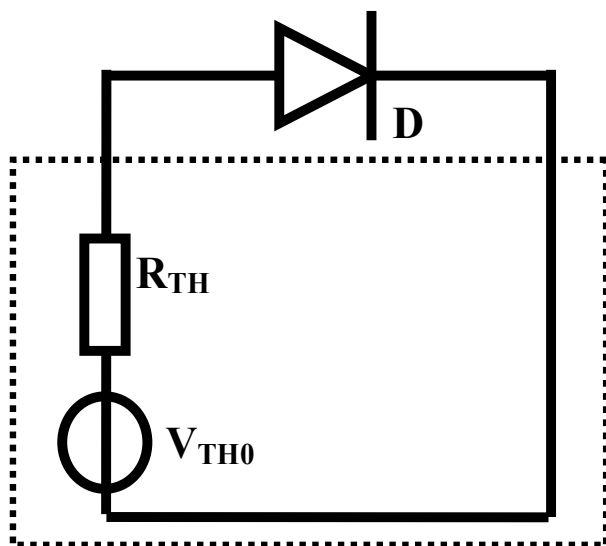
$$r_d = \frac{v_T}{I_{D0}} = \frac{26mV}{2.058mA} = 12.63\Omega$$

直流工作点上求微分电阻
很小，接近于**0**

后交流小信号分析

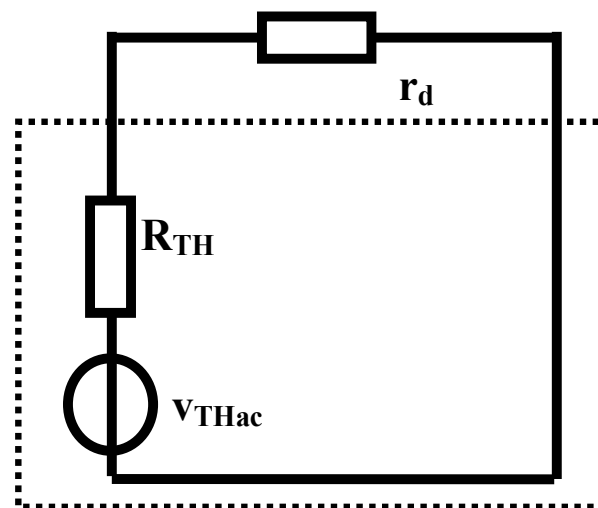
$$v_{THac}(t) = 0.1875 \cos \omega t (V)$$

$$R_{TH} = 1.9375 k\Omega$$



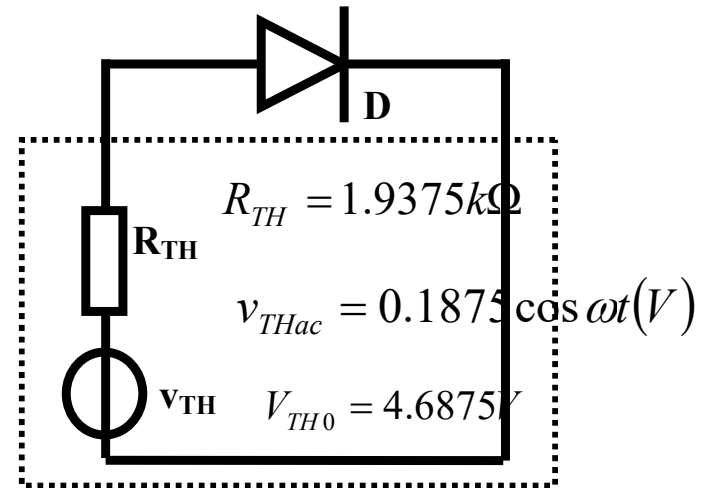
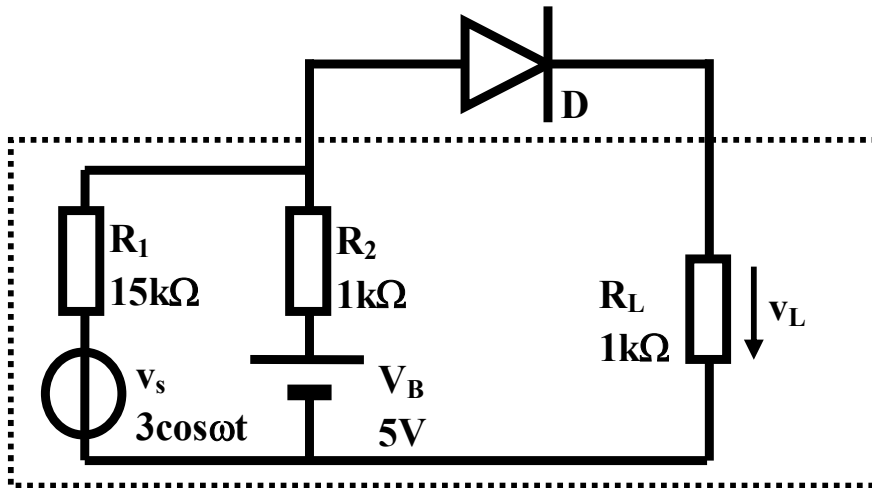
$$I_{D0} = 2.058 mA$$

$$r_d = 12.63 \Omega$$



$$i_d = \frac{v_{THac}}{R_{TH} + r_d} = \frac{0.1875 \cos \omega t}{1937.5 + 12.63} = 96.15 \cos \omega t (\mu A)$$

总响应：直流加交流



$$i_D = I_{D0} + i_d = (2.058 + 0.096 \cos \omega t) \text{ mA}$$

$$v_L = i_L R_L = i_D R_L = (2058 + 96 \cos \omega t) \text{ mV} = (2.058 + 0.096 \cos \omega t) \text{ V}$$

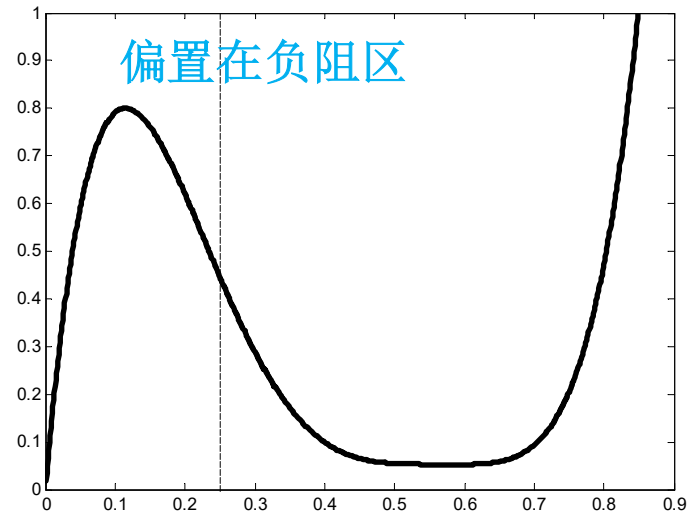
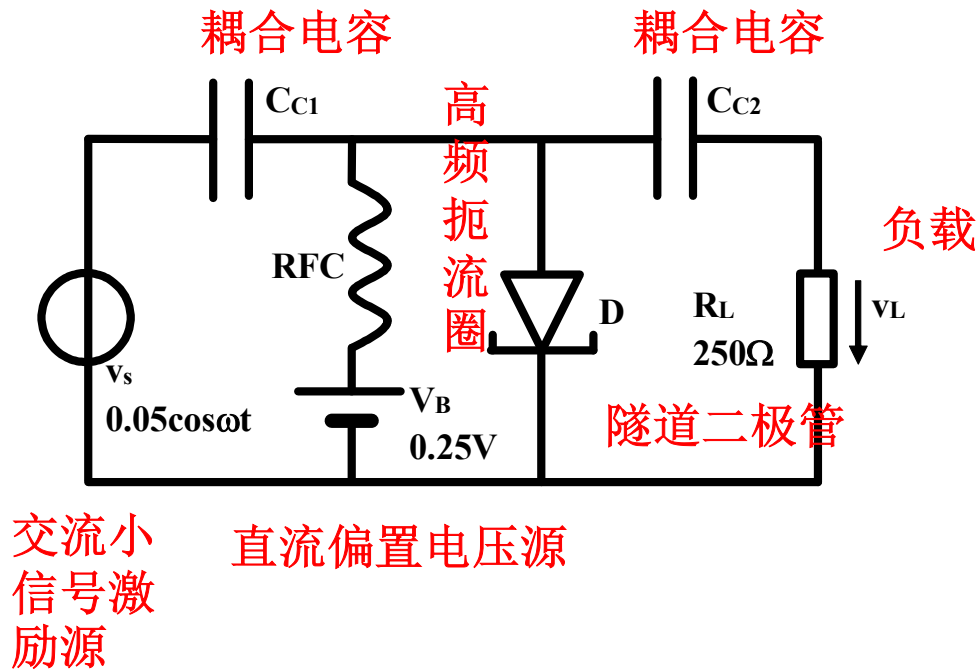
分段折线分析结果：

$$v_L = \frac{v_{TH} - 0.7}{R_{TH}} \times R_L = \frac{3.9875 + 0.1875 \cos \omega t}{1.9375} = (2.058 + 0.097 \cos \omega t) \text{ V}$$

对本题而言，分段折线分析结果足够精确，无需交直流分析

原因：二极管电流很大，微分电阻很小，可以抽象为0，0.7V恒压源模型足够精确

例2 隧道二极管负阻放大器



$$i = f(v) = 17.05v - 119.57v^2 + 317.42v^3 - 375.42v^4 + 166.66v^5$$

根据测量结果拟合的伏安特性方程

电压单位：伏特
电流单位：毫安

耦合电容

- 耦合电容（**Coupling Capacitor**）是大电容，具有直流开路，交流短路特性

$$v_C(t) = V_0 + V_m \cos \omega t$$

$$i_C(t) = C \frac{dv_C(t)}{dt} = -C\omega V_m \sin \omega t = I_m \cos(\omega t + 90^\circ)$$

直流电流为0
直流开路

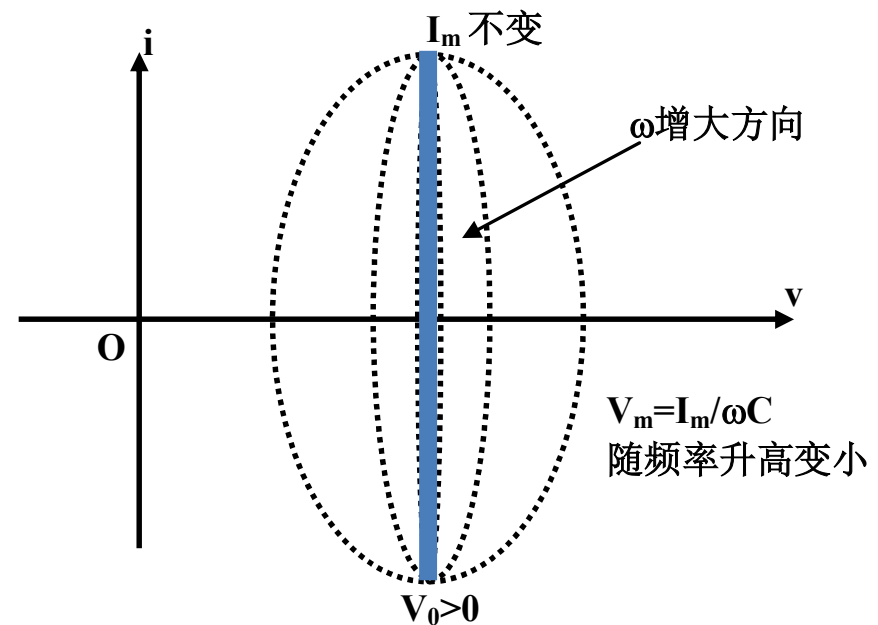
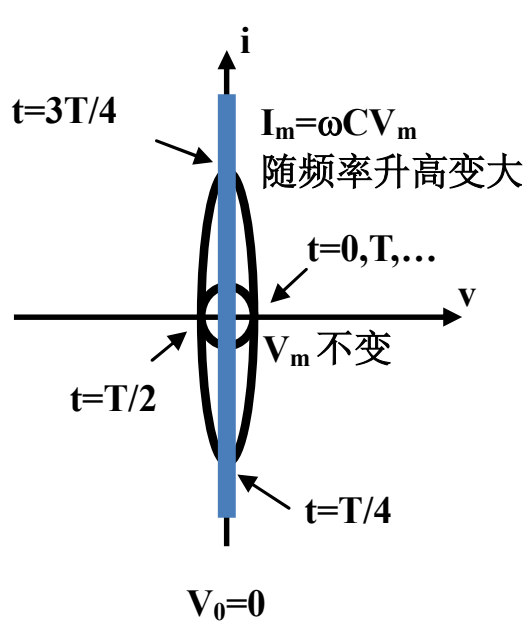
交流电流和频率成正比，如果频率很高，则可抽象为短路线（电流随意，电压为零）

$$V_m = \frac{I_m}{\omega C} \xrightarrow{\omega \rightarrow \infty} 0$$

耦合电容高频抽象为短路线

$$v_C(t) = V_0 + V_m \cos \omega t \qquad i_C(t) = C \frac{dv_C(t)}{dt} = -C\omega V_m \sin \omega t$$

$$\left(\frac{v_C(t) - V_0}{V_m} \right)^2 + \left(\frac{i_C(t)}{\omega C V_m} \right)^2 = (\cos \omega t)^2 + (-\sin \omega t)^2 = 1$$



高频则抽象为短路线

电容可抽象为恒压源：交流分析时，其微分电阻为0

高频扼流圈

耦合电容可抽象为微分内阻为0的恒压源，交流分析时视为短路

对偶元件

高频扼流圈可抽象为微分内导为0的恒流源，交流分析时视为开路

- 高频扼流圈（**Radio Frequency Choke**，射频扼流圈）是大电感，具有直流短路，交流开路特性

$$i_L(t) = I_0 + I_m \cos \omega t$$

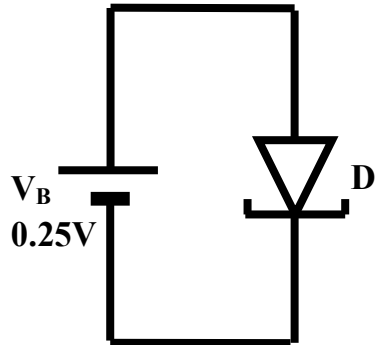
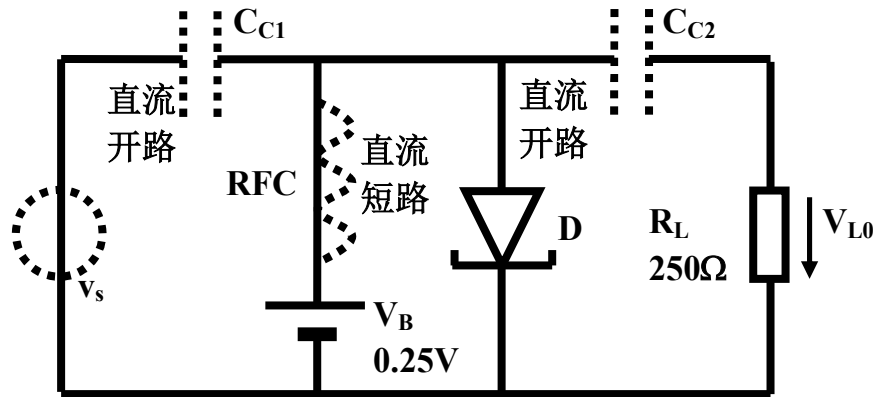
$$v_L(t) = L \frac{di_L(t)}{dt} = -L\omega I_m \sin \omega t = V_m \cos(\omega t + 90^\circ)$$

直流电流存在，
但直流电压为0：
直流短路

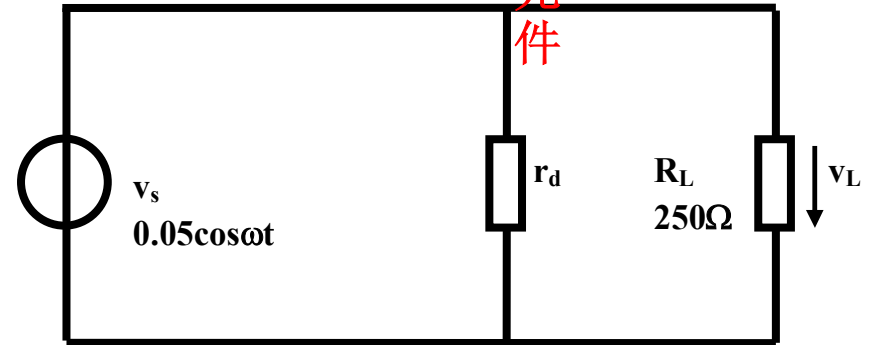
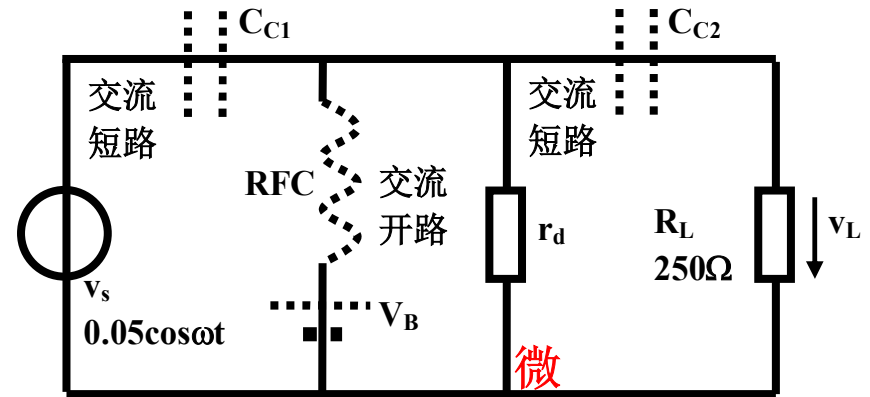
交流电压和频率成正比，如果频率
很高，则可抽象为开路（电压随意，
电流为零）

$$I_m = \frac{V_m}{\omega L} \xrightarrow{\omega \rightarrow \infty} 0$$

直流分析电路和交流分析电路



直流分析

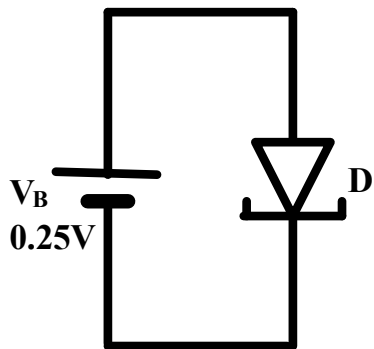
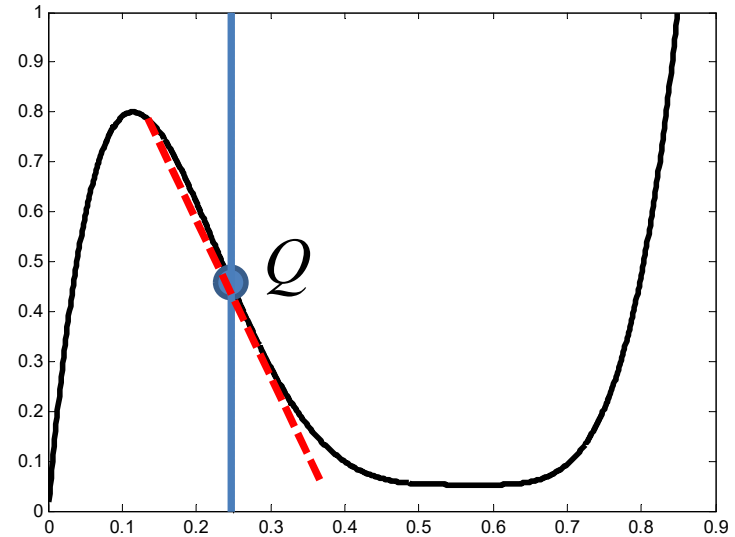
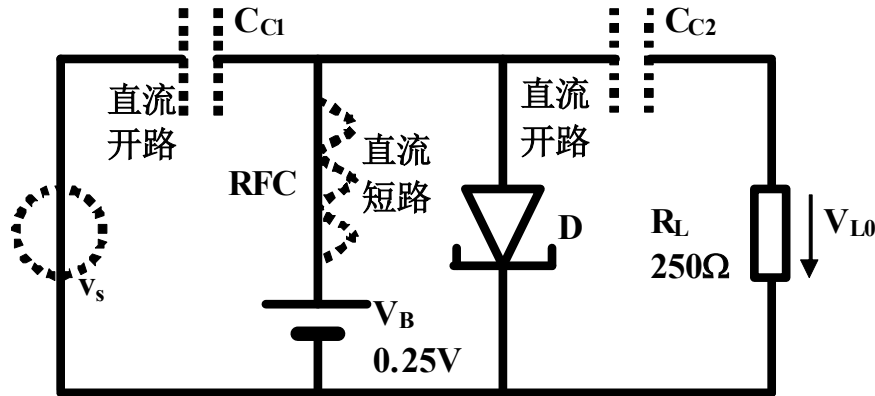


交流小信号分析

微分元件

由于存在耦合电容和高频扼流圈，直流分析和交流分析的两个电路结构不同

直流分析：图解法和解析法



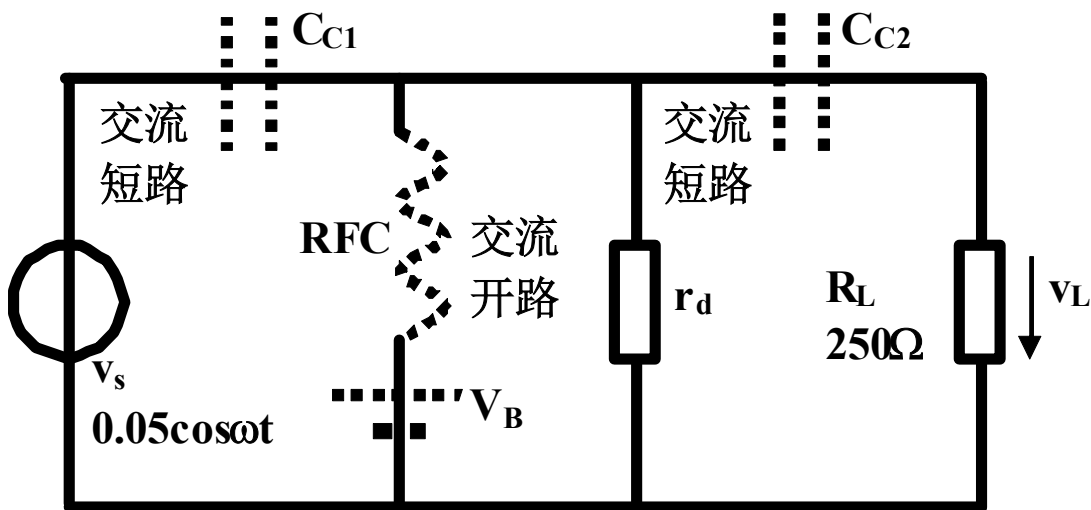
$$i = f(v) = 17.05v - 119.57v^2 + 317.42v^3 - 375.42v^4 + 166.66v^5$$

$$I_0 = f(V_0) = f(0.25V) = 445\mu A$$

$$r_d = \frac{1}{f'(v)} \Big|_{v_0} = \frac{1}{17.05 - 119.57 \times 2v + 317.42 \times 3v^2 - 375.42 \times 4v^3 + 166.66 \times 5v^4} \Big|_{v=V_0=0.25}$$

$$= \frac{1}{-3.4274mS} = -292\Omega \quad \text{微分负阻}$$

交流分析



$$i_d = \frac{v_s}{r_d} = -0.1714 \cos \omega t (mA)$$

$$i_L = \frac{v_s}{R_L} = 0.2000 \cos \omega t (mA)$$

$$i_s = i_d + i_L = 0.0286 \cos \omega t (mA)$$

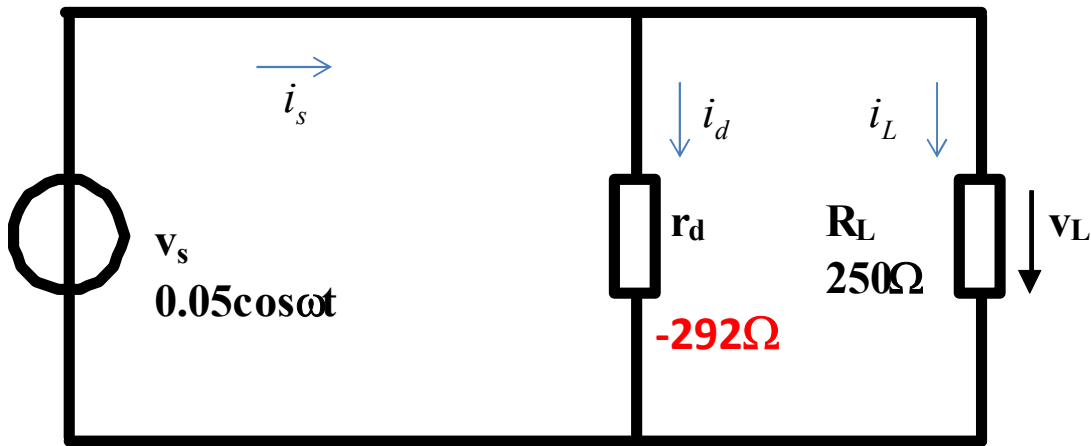
$$\overline{p_s} = \frac{1}{2} V_{sp} I_{sp}$$

$$= 0.5 \times 0.05 \times 0.0286 m = 0.715 \mu W$$

$$\overline{p_L} = \frac{1}{2} I_{Lp}^2 R_L$$

$$= 0.5 \times (0.20 m)^2 \times 250 = 5 \mu W$$

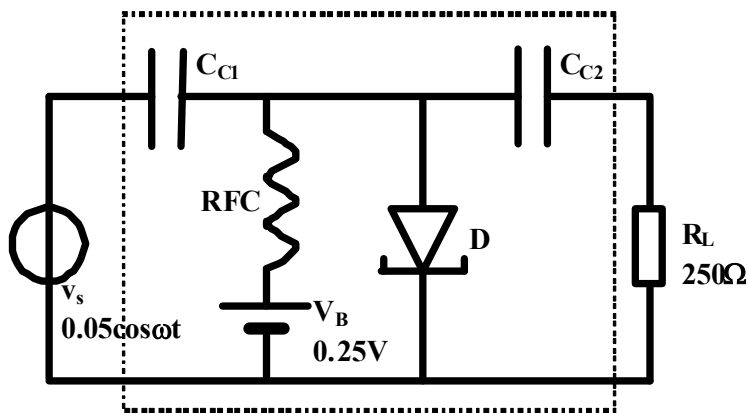
$$G_p = \frac{\overline{p_L}}{\overline{p_s}} = \frac{5}{0.715} = 7 = 8.4 dB$$



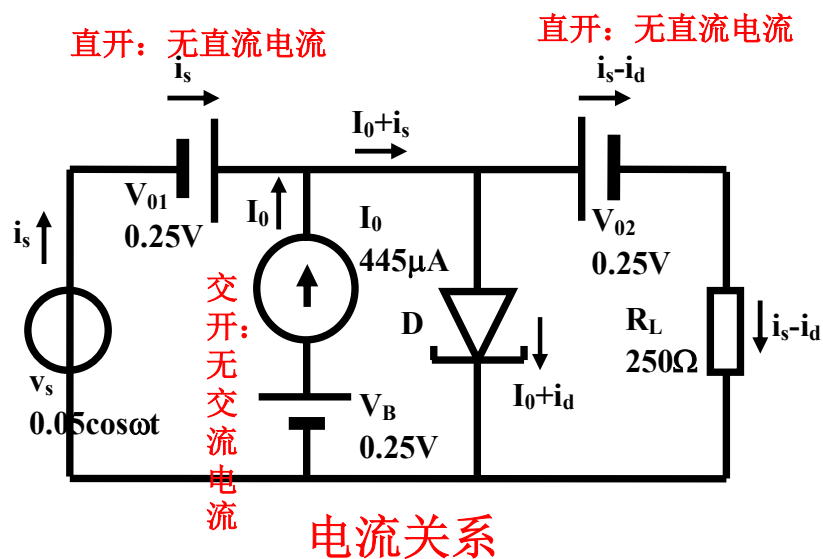
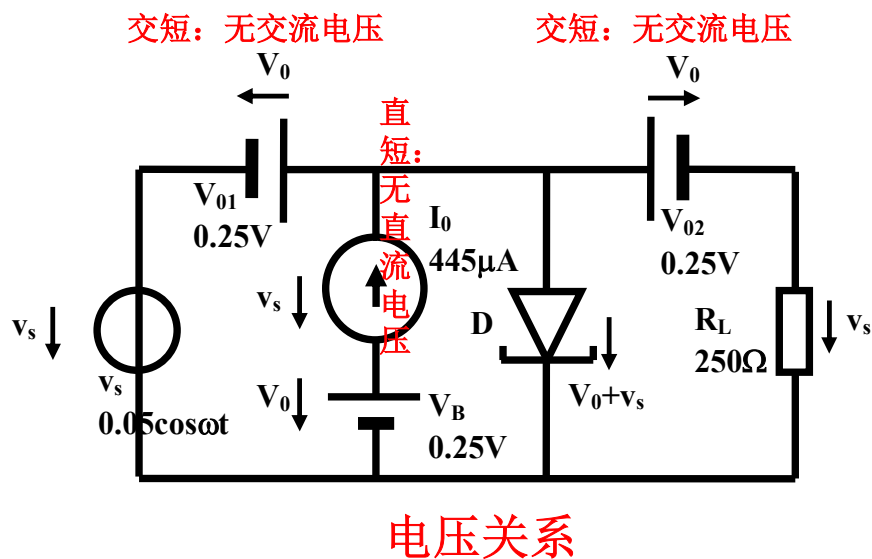
$$G_p = \frac{\overline{p_L}}{\overline{p_s}} = \frac{V_{s,rms}^2 G_L}{V_{s,rms}^2 (G_L + g_d)} = \frac{G_L}{G_L + g_d}$$

负载获得了比信源输出功率更大的功率
放大器：功率增益由负载电导和微分负导共同决定

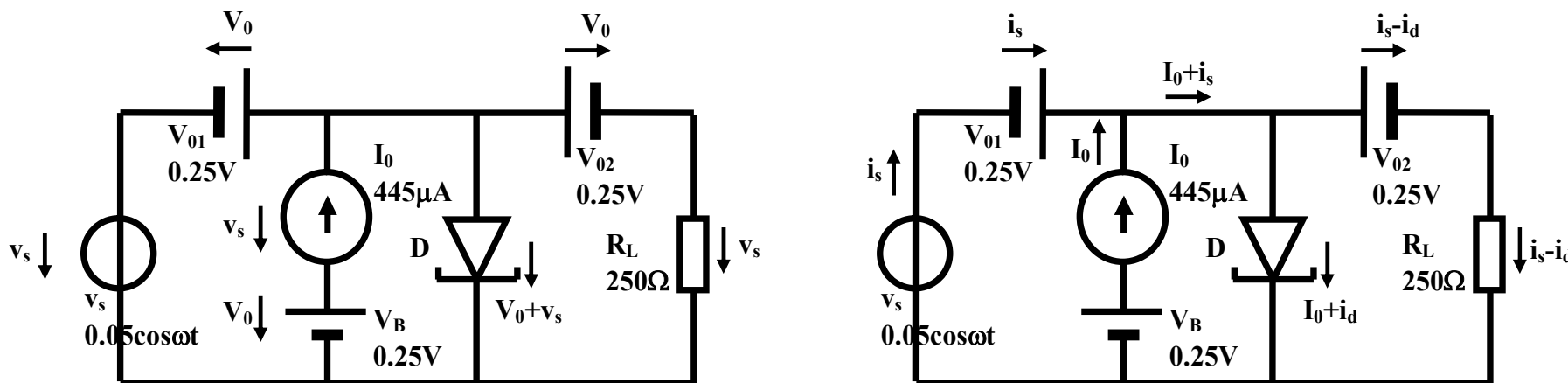
电容抽象为恒压源，电感抽象为恒流源



电容用直流恒压源替代
 电感用直流恒流源替代
 和原电路分析无任何冲突
 两者等价：
 替代定理的应用
 将动态电路抽象为电阻电路
 直流+交流（频率很高，稳态情况，充放电结束）



负阻将直流能量转换为交流能量



如果没有施加交流信号， $v_s=0$ ，隧道二极管消耗功率为直流偏置电压源提供的功率

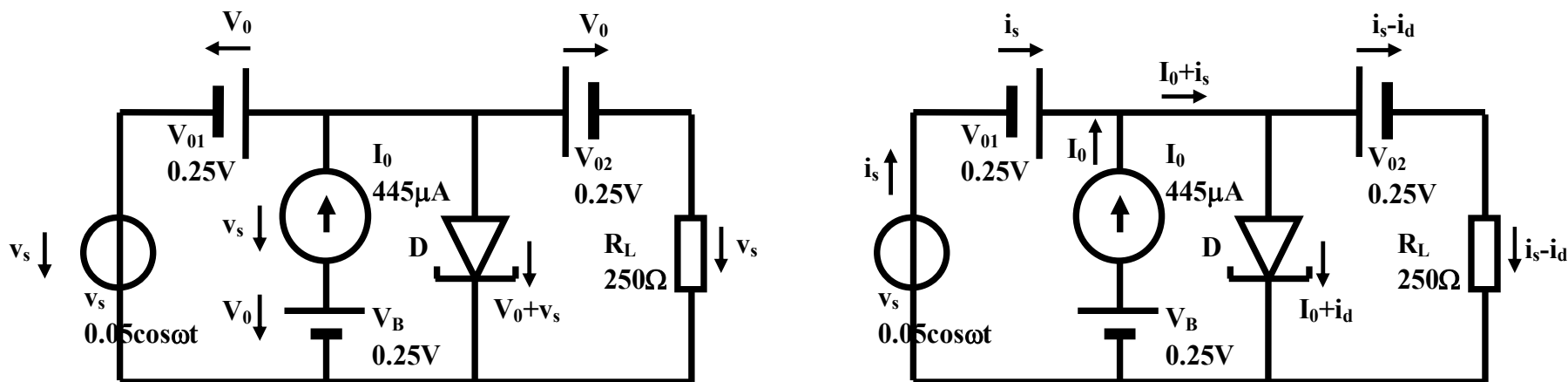
$$P_D = V_0 I_0 = 250mV \times 445\mu A = 111\mu W = P_S = V_B I_0$$

如果施加交流信号， $v_s \neq 0$ ，直流偏置电压源仍然提供这多功率，但隧道二极管消耗功率减少了

$$P_D = \overline{(V_0 + v_s)(I_0 + i_d)} = V_0 I_0 + \overline{v_s i_d} = V_0 I_0 + \frac{V_{s,rms}^2}{r_d}$$

$$= 250mV \times 445\mu A - \frac{1}{2} \frac{(0.05)^2}{292} = 111\mu W - 4.28\mu W = 106.72\mu W$$

负阻将直流能量转换为交流能量



直流偏置电压源提供**111μW**直流功率，隧道二极管吸收**111μW**直流功率，其微分负阻又向外释放了**4.28μW**的交流功率

$$P_D = \overline{(V_0 + v_s)(I_0 + i_d)} = V_0 I_0 + \overline{v_s i_d} = 111\mu W - 4.28\mu W$$

交流信号源本身对外释放了**0.72μW**交流功率

$$\overline{p_s} = \frac{1}{2} V_{sp} I_{sp} = 0.5 \times 0.05 \times 0.0286m = 0.72\mu W$$

负载吸收了信源和负阻提供的交流功率

$$\overline{p_L} = \overline{p_s} + \overline{p_d} = 0.72\mu W + 4.28\mu W = 5.0\mu W$$

施加交流激励后，隧道二极管消耗能量降低部分即为负阻向外释放的能量

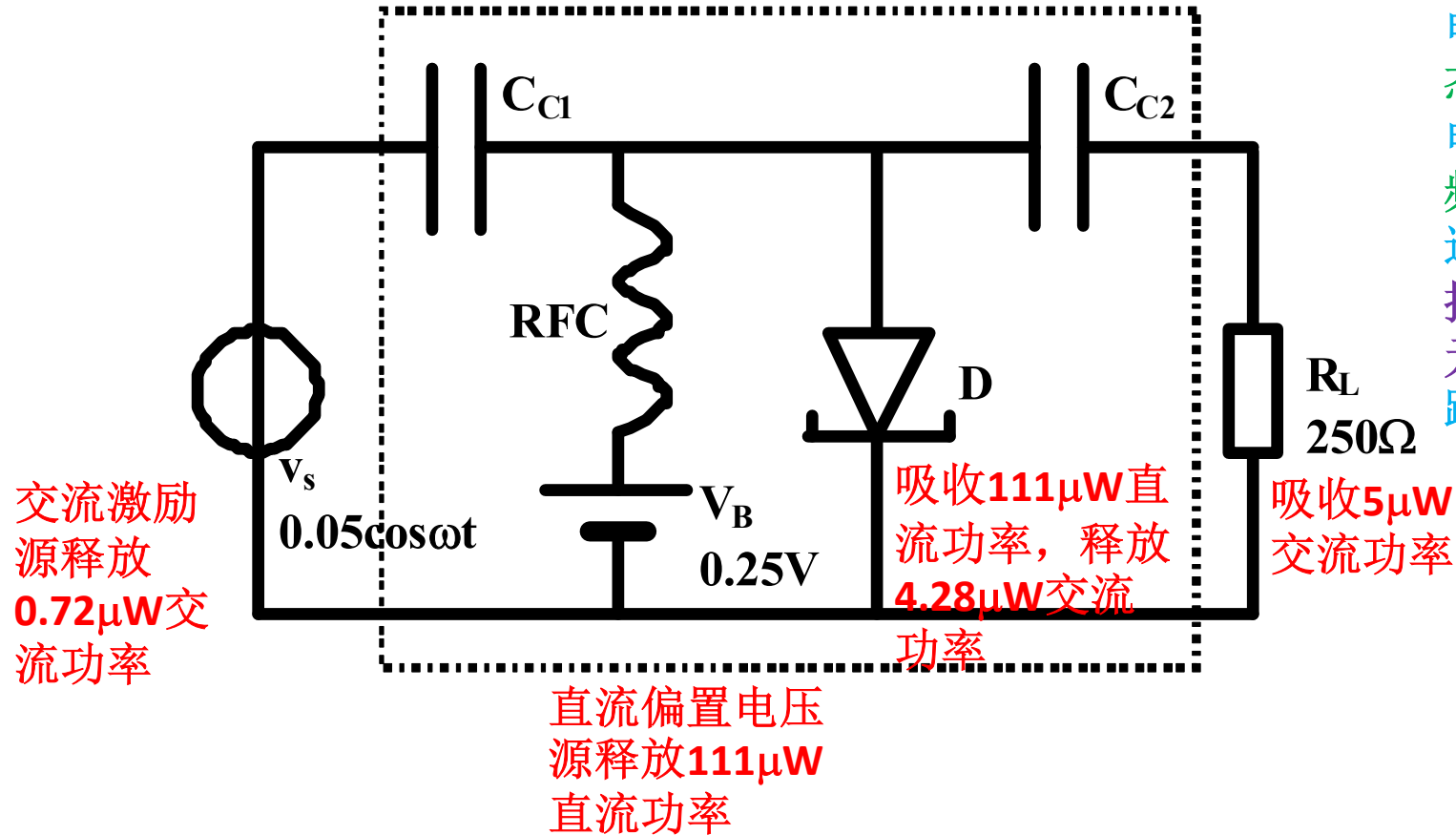
能量转换情况

$$E_C = \frac{1}{2} CV_0^2$$

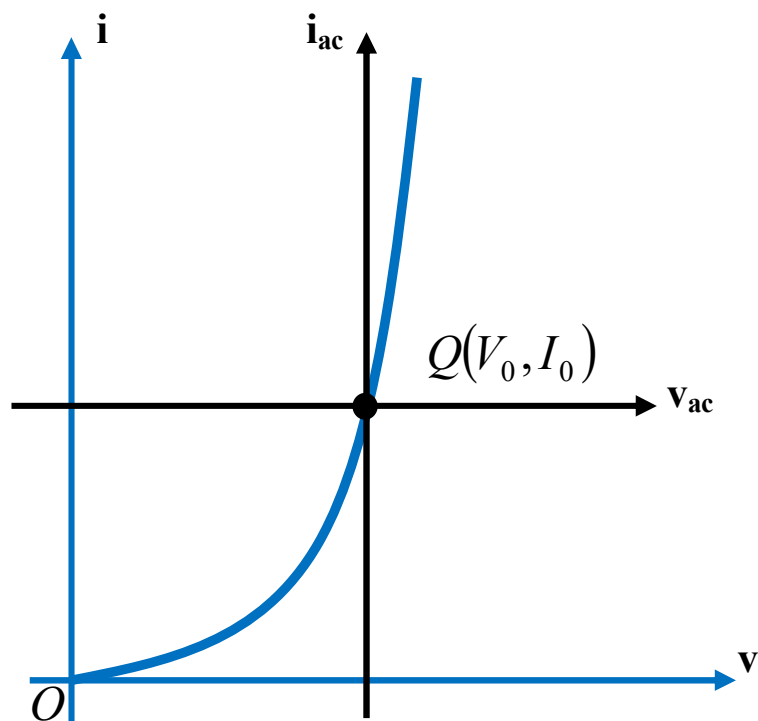
$$E_L = \frac{1}{2} LI_0^2$$

下学期讨论：电容、电感加电起始吸收电能，存储在其结构中。稳定后，电感提供直流通路，电容提供交流通路：本学期假设电容、电吸收能量的瞬态过程已经结束，电路已经稳定，在频率很高的情况下，这两个动态元件可抽象为开关（阻性元件）进行电阻电路分析。

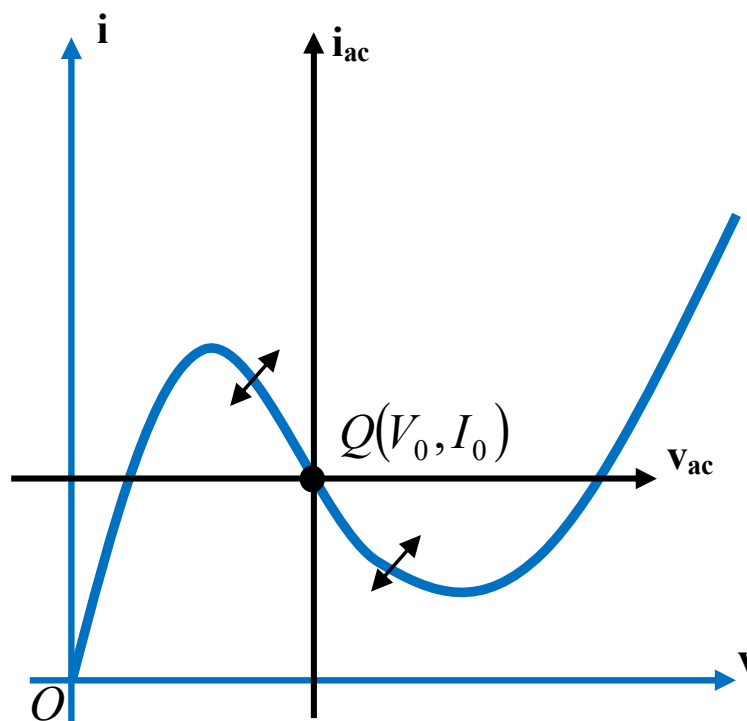
耦合电容、高频扼流圈不消耗任何功率，只是提供交直流通断的通路



隧道二极管的有源性来源



PN结二极管始终无源，
直流交流均吸收功率



先偏置到负阻区才能释放功率，在吸收
直流功率的前提下释放交流功率：隧道
二极管的有源性来自直流偏置电压源提
供的直流能量

交直流分析和叠加定理

交直流分析针对非线性电路：前提，交流信号足够小

$$i = f(v) = f(V_0 + v_{ac}) \approx f(V_0) + \underline{\underline{f'(V_0)}} v_{ac} = I_0 + i_{ac} = I_0 + \frac{v_{ac}}{r_d}$$

由 V_0 决定，不同工作点位置有不同的斜率

叠加定理仅适用于线性电路

$$i = f(v) = \frac{v}{R} = f(V_0 + v_{ac}) = \frac{V_0}{R} + \frac{v_{ac}}{R} = f(V_0) + f(v_{ac}) = I_0 + i_{ac} = f(V_0) + \underline{\underline{f'(V_0)}} v_{ac}$$

常值，和 V_0 无关，
斜率处处相等，
不要求 v_{ac} 小信号

线性是相对的：任何线性电路都有其线性范围

理想绝对线性的线性范围无穷大，实际都有线性范围

在线性范围内，可视为线性，超出线性范围，则非线性失真

线性范围：交直流分析的限定性条件

- 只有在线性范围内，采用小信号线性电路模型才是成立的，交流小分析线性分析才是有效的
 - 信号大小是相对的
 - 信号幅度在线性范围内，则称之为小；超过线性范围则为大信号
 - 线性范围??

$$v = V_0 + v_s = 250 + 50 \cos \omega t$$

加载到隧道二极管上的电压：mV

$$i = f(v) \approx f(V_0) + f'(V_0)v_s = 445 - 171 \cos \omega t$$

交直流分析获得的二极管电流：uA

$$i = f(v) = 17.05v - 119.57v^2 + 317.42v^3 - 375.42v^4 + 166.66v^5 \Big|_{v=V_0+v_s} (mA)$$

$$= 445 - 171 \cos \omega t + 9.38 \cos^2 \omega t + 5.77 \cos^3 \omega t - 1.04 \cos^4 \omega t + 0.052 \cos^5 \omega t (\mu A)$$

$$= 450 - 167 \cos \omega t + 4.17 \cos 2\omega t + 1.46 \cos 3\omega t - 0.13 \cos 4\omega t + 0.003 \cos 5\omega t (\mu A)$$

真实的二极管电流（傅立叶展开）并非如此：交直流分析（泰勒展开）是近似分析

总谐波失真

$$\begin{aligned}i &= f(v) = 17.05v - 119.57v^2 + 317.42v^3 - 375.42v^4 + 166.66v^5 \Big|_{v=V_0+v_s} \text{ (mA)} \\&= 445 - 171 \cos \omega t + 9.38 \cos^2 \omega t + 5.77 \cos^3 \omega t - 1.04 \cos^4 \omega t + 0.052 \cos^5 \omega t \text{ (}\mu\text{A)} \\&= 450 - 167 \cos \omega t + 4.17 \cos 2\omega t + 1.46 \cos 3\omega t - 0.13 \cos 4\omega t + 0.003 \cos 5\omega t \text{ (}\mu\text{A)}\end{aligned}$$

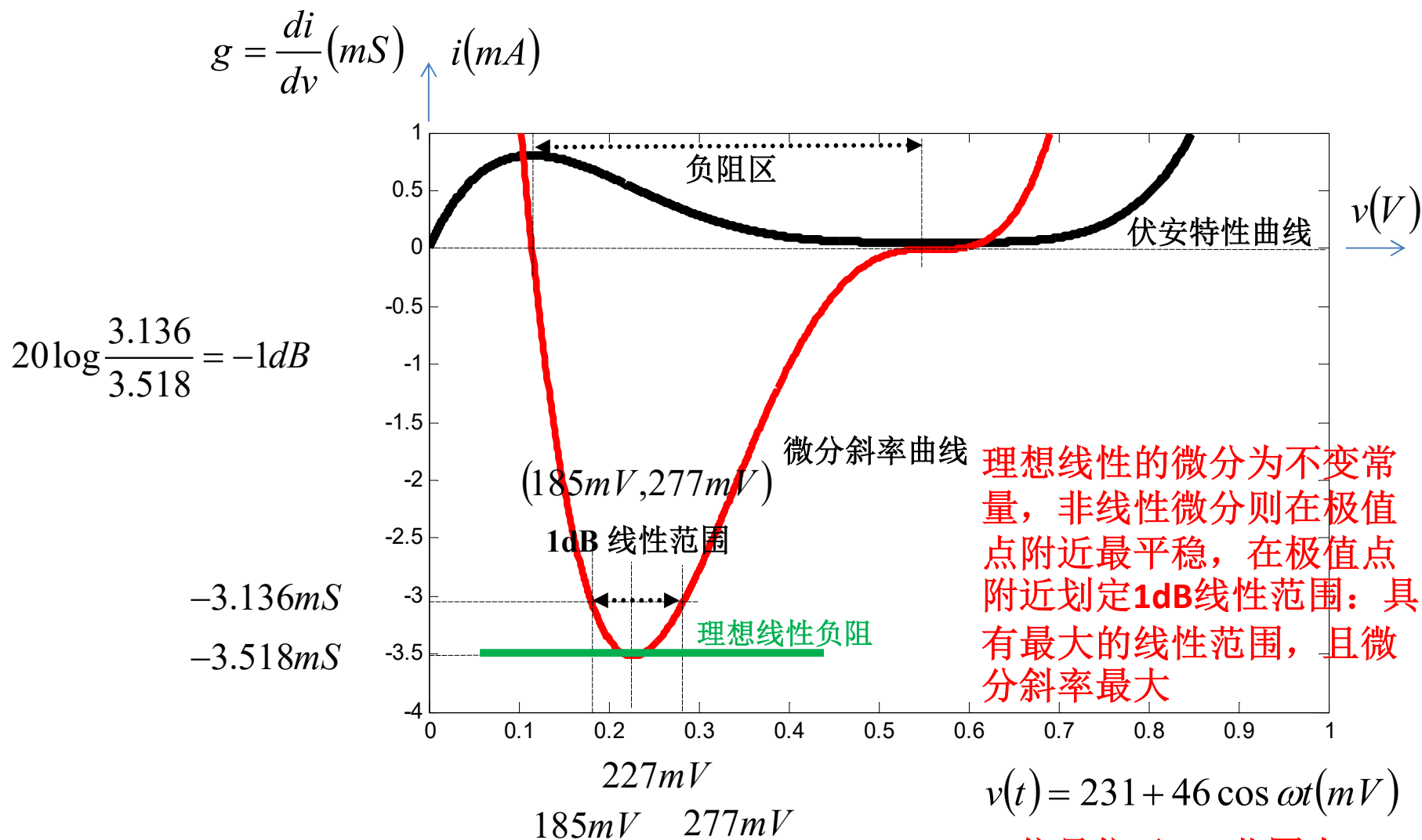
THD, Total Harmonic Distortion: 描述非线性程度的参量

$$\begin{aligned}THD &= 10 \log \frac{I_2^2 + I_3^2 + \dots}{I_1^2} \\&= 10 \log \frac{4.17^2 + 1.46^2 + 0.13^2 + 0.003^2}{167^2} = -31.5 \text{ dB}\end{aligned}$$

总谐波失真在**-30dB**以下，是否在线性范围内？？

可以定义总谐波失真在**-30dB**以下，则在线性范围之内：**30dB**总谐波失真线性范围

1dB线性范围：定义



1dB线性范围：谐波失真

$$v(t) = 231 + 46 \cos \omega t (mV)$$

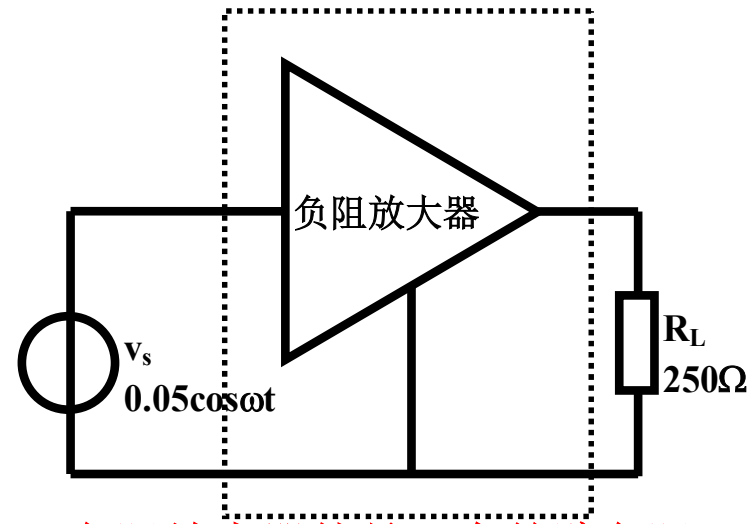
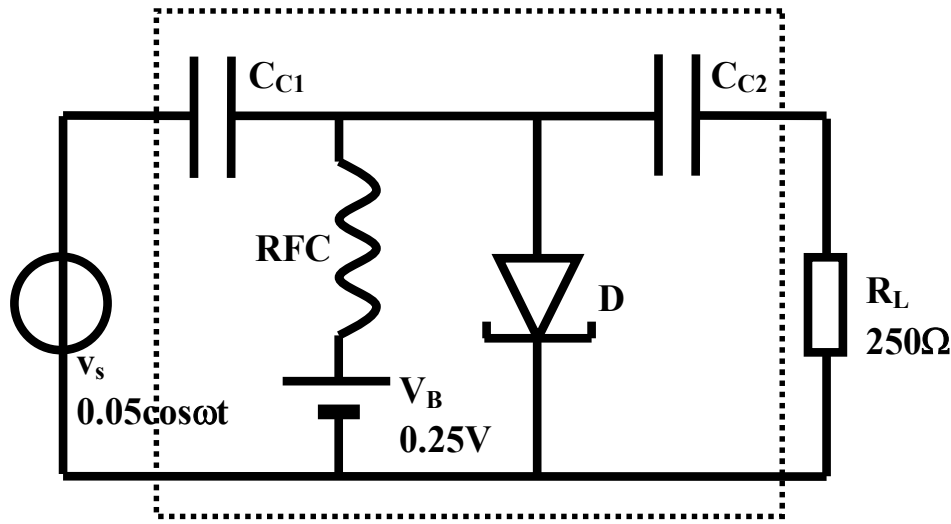
$$i(t) = 512 - 162 \cos \omega t + 1.58 \cos^2 \omega t + 5.79 \cos^3 \omega t + 0.82 \cos^4 \omega t + 0.03 \cos^5 \omega t \\ = 512 - 157 \cos \omega t + 0.38 \cos 2\omega t + 1.46 \cos 3\omega t + 0.10 \cos 4\omega t + 0.002 \cos 5\omega t (\mu A)$$

$$THD = 10 \log \frac{0.38^2 + 1.46^2 + 0.10^2 + 0.002^2}{157^2} = -40.3dB$$

如此小的谐波失真，示波器观测波形，肉眼看不出任何失真存在

线性范围也可有其他定义：如定义谐波失真小于**40dB**、**60dB**、**80dB**为线性范围

负阻放大器抽象



负阻放大器就是一个并臂负阻

$$G_p = \frac{\overline{P_{out}}}{\overline{P_{in}}} = \frac{G_L}{G_L - g_d} > 1$$

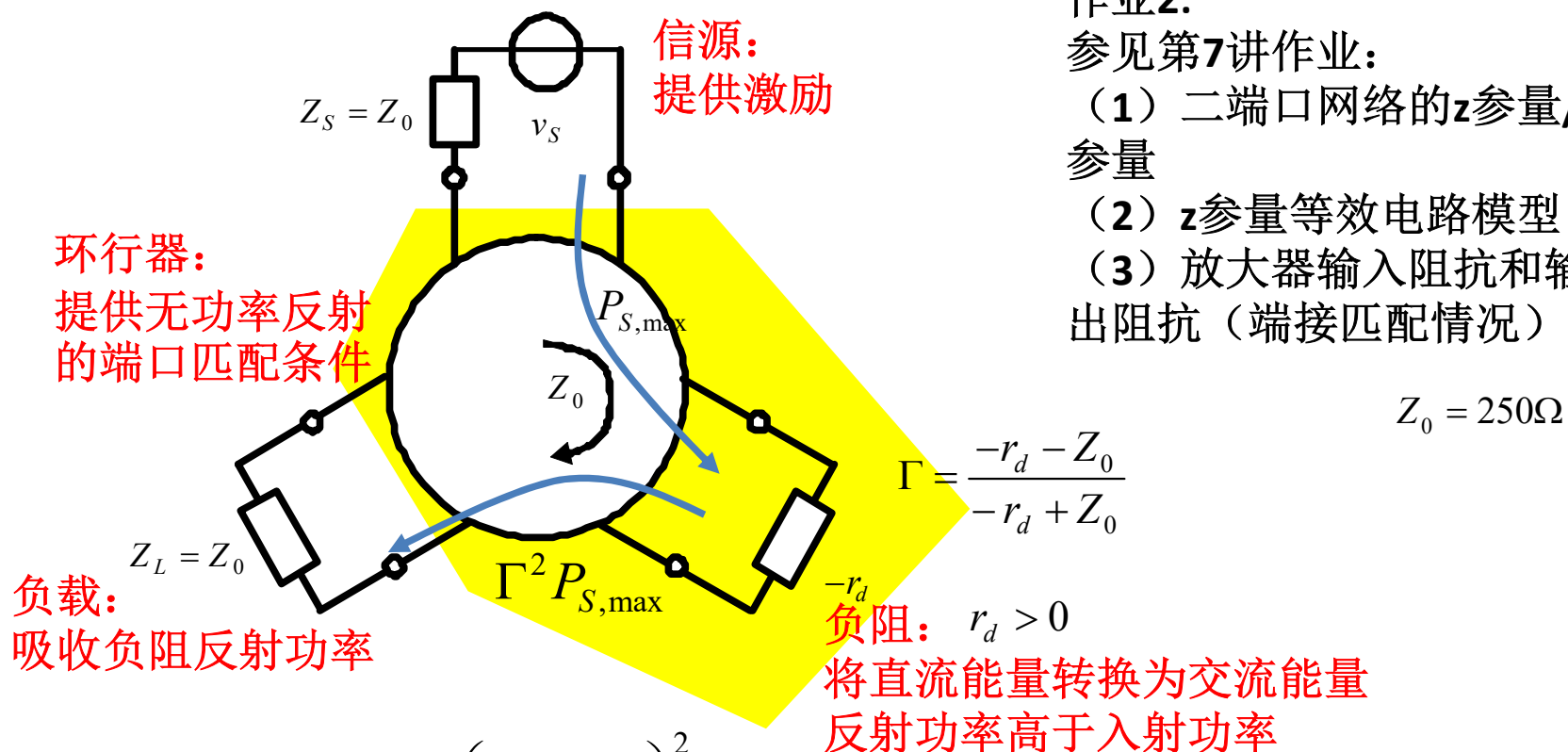
$G_L > g_d$ 确保整体呈现正阻，否则不稳定，或者进入正阻区锁定，或者变成振荡器

作业1:

- (1) 给出图示虚框二端口网络的网络参量 (自选zyhg)
- (2) 给出对应参量的等效电路模型
- (3) 求放大器输入阻抗和输出阻抗

$$\begin{bmatrix} v_1 \\ v_2 \\ v_3 \end{bmatrix} = \begin{bmatrix} 0 & Z_0 & -Z_0 \\ -Z_0 & 0 & Z_0 \\ Z_0 & -Z_0 & 0 \end{bmatrix} \begin{bmatrix} i_1 \\ i_2 \\ i_3 \end{bmatrix}$$

反射型负阻放大器



作业2:

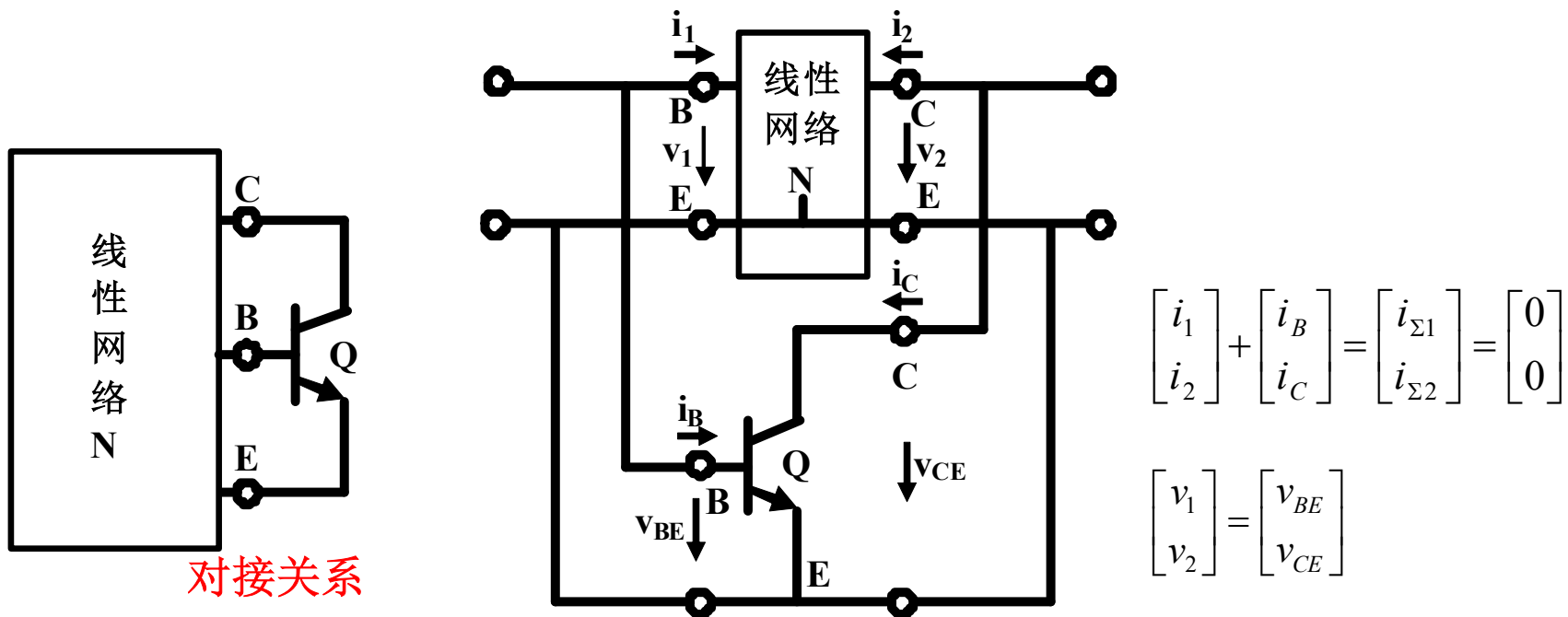
参见第7讲作业:

- (1) 二端口网络的z参量/s参量
- (2) z参量等效电路模型
- (3) 放大器输入阻抗和输出阻抗（端接匹配情况）

$$P_L = \Gamma^2 P_{S,\max} = \left(\frac{Z_0 + r_d}{Z_0 - r_d} \right)^2 P_{S,\max} = G_T \cdot P_{S,\max} = G_{p\max} \cdot P_{S,\max}$$

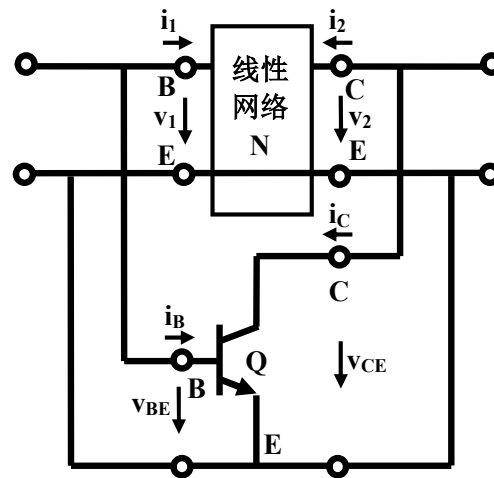
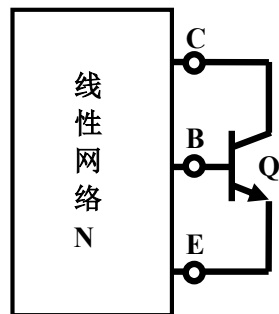
二、二端口非线性电阻

- 以BJT晶体管为例，说明局部线性化原理



单晶体管网络

可视为两个二端口网络并并连接后，总端口开路， \mathbf{y} 参量描述
可视为两个二端口网络串并连接，.....



$$\begin{bmatrix} i_1 \\ i_2 \end{bmatrix} + \begin{bmatrix} i_B \\ i_C \end{bmatrix} = \begin{bmatrix} i_{\Sigma 1} \\ i_{\Sigma 2} \end{bmatrix} = \begin{bmatrix} 0 \\ 0 \end{bmatrix}$$

$$\begin{bmatrix} i_B \\ i_C \end{bmatrix} = \begin{bmatrix} f_B(v_{BE}, v_{CE}) \\ f_C(v_{BE}, v_{CE}) \end{bmatrix}$$

晶体管非线性约束
压控形式

$$\begin{bmatrix} v_1 \\ v_2 \end{bmatrix} = \begin{bmatrix} v_{BE} \\ v_{CE} \end{bmatrix}$$

$$\begin{bmatrix} i_1 \\ i_2 \end{bmatrix} = \begin{bmatrix} y_{11} & y_{12} \\ y_{21} & y_{22} \end{bmatrix} \begin{bmatrix} v_1 \\ v_2 \end{bmatrix} + \begin{bmatrix} i_{N1} \\ i_{N2} \end{bmatrix}$$

晶体管外线性约束
用诺顿等效电路描述
压控形式

KVL, KCL: 连接关系

元件约束方程

$$\begin{bmatrix} i_B \\ i_C \end{bmatrix} + \begin{bmatrix} i_1 \\ i_2 \end{bmatrix} = \begin{bmatrix} f_B(v_1, v_2) \\ f_C(v_1, v_2) \end{bmatrix} + \begin{bmatrix} y_{11} & y_{12} \\ y_{21} & y_{22} \end{bmatrix} \begin{bmatrix} v_1 \\ v_2 \end{bmatrix} + \begin{bmatrix} i_{N1} \\ i_{N2} \end{bmatrix} = 0$$

方程联立: 以两个并联端口电压 v_1, v_2 为未知量

方程分析

$$\begin{bmatrix} f_B(v_1, v_2) \\ f_C(v_1, v_2) \end{bmatrix} + \begin{bmatrix} y_{11} & y_{12} \\ y_{21} & y_{22} \end{bmatrix} \begin{bmatrix} v_1 \\ v_2 \end{bmatrix} + \begin{bmatrix} i_{N1} \\ i_{N2} \end{bmatrix} = 0$$

$$\begin{bmatrix} i_{N1} \\ i_{N2} \end{bmatrix} = \begin{bmatrix} I_{N10} \\ I_{N20} \end{bmatrix} + \begin{bmatrix} \Delta i_{N1}(t) \\ \Delta i_{N2}(t) \end{bmatrix}$$

线性网络中同时存在直流偏置电压源和交流小信号激励源

$$\begin{bmatrix} v_1 \\ v_2 \end{bmatrix} = \begin{bmatrix} V_{10} \\ V_{20} \end{bmatrix} + \begin{bmatrix} \Delta v_1 \\ \Delta v_2 \end{bmatrix}$$

端口电压同时包括直流分量和交流小信号分量

$$\begin{bmatrix} f_B(V_{10} + \Delta v_1, V_{20} + \Delta v_2) \\ f_C(V_{10} + \Delta v_1, V_{20} + \Delta v_2) \end{bmatrix} + \begin{bmatrix} y_{11} & y_{12} \\ y_{21} & y_{22} \end{bmatrix} \begin{bmatrix} V_{10} + \Delta v_1 \\ V_{20} + \Delta v_2 \end{bmatrix} + \begin{bmatrix} I_{N10} + \Delta i_{N1} \\ I_{N20} + \Delta i_{N2} \end{bmatrix} = 0$$

$$\begin{bmatrix} f_B(Q) + \frac{\partial f_B(Q)}{\partial v_1} \Delta v_1 + \frac{\partial f_B(Q)}{\partial v_2} \Delta v_2 + \dots \\ f_C(Q) + \frac{\partial f_C(Q)}{\partial v_1} \Delta v_1 + \frac{\partial f_C(Q)}{\partial v_2} \Delta v_2 + \dots \end{bmatrix} + \begin{bmatrix} y_{11} & y_{12} \\ y_{21} & y_{22} \end{bmatrix} \begin{bmatrix} V_{10} + \Delta v_1 \\ V_{20} + \Delta v_2 \end{bmatrix} + \begin{bmatrix} I_{N10} + \Delta i_{N1} \\ I_{N20} + \Delta i_{N2} \end{bmatrix} = 0$$

交直流分析

$$\begin{bmatrix} f_B(Q) + \frac{\partial f_B(Q)}{\partial v_1} \Delta v_1 + \frac{\partial f_B(Q)}{\partial v_2} \Delta v_2 + \dots \\ f_C(Q) + \frac{\partial f_C(Q)}{\partial v_1} \Delta v_1 + \frac{\partial f_C(Q)}{\partial v_2} \Delta v_2 + \dots \end{bmatrix} + \begin{bmatrix} y_{11} & y_{12} \\ y_{21} & y_{22} \end{bmatrix} \begin{bmatrix} V_{10} + \Delta v_1 \\ V_{20} + \Delta v_2 \end{bmatrix} + \begin{bmatrix} I_{N10} + \Delta i_{N1} \\ I_{N20} + \Delta i_{N2} \end{bmatrix} = 0$$

$$\begin{bmatrix} f_B(Q) + \frac{\partial f_B(Q)}{\partial v_1} \Delta v_1 + \frac{\partial f_B(Q)}{\partial v_2} \Delta v_2 \\ f_C(Q) + \frac{\partial f_C(Q)}{\partial v_1} \Delta v_1 + \frac{\partial f_C(Q)}{\partial v_2} \Delta v_2 \end{bmatrix} + \begin{bmatrix} y_{11} & y_{12} \\ y_{21} & y_{22} \end{bmatrix} \begin{bmatrix} V_{10} + \Delta v_1 \\ V_{20} + \Delta v_2 \end{bmatrix} + \begin{bmatrix} I_{N10} + \Delta i_{N1} \\ I_{N20} + \Delta i_{N2} \end{bmatrix} \approx 0$$

$$\begin{bmatrix} f_B(V_{10}, V_{20}) \\ f_C(V_{10}, V_{20}) \end{bmatrix} + \begin{bmatrix} Y_{11} & Y_{12} \\ Y_{21} & Y_{22} \end{bmatrix} \begin{bmatrix} V_{10} \\ V_{20} \end{bmatrix} + \begin{bmatrix} I_{N10} \\ I_{N20} \end{bmatrix} = 0$$

直流非线性分析

如果线性系统中存在耦合电容、高频扼流圈，则直流y参量和交流y参量可能不同

$$\begin{bmatrix} \frac{\partial f_B}{\partial v_1} & \frac{\partial f_B}{\partial v_2} \\ \frac{\partial f_C}{\partial v_1} & \frac{\partial f_C}{\partial v_2} \end{bmatrix} \begin{bmatrix} \Delta v_1 \\ \Delta v_2 \end{bmatrix} + \begin{bmatrix} y_{11} & y_{12} \\ y_{21} & y_{22} \end{bmatrix} \begin{bmatrix} \Delta v_1 \\ \Delta v_2 \end{bmatrix} + \begin{bmatrix} \Delta i_{N1} \\ \Delta i_{N2} \end{bmatrix} = 0$$

Q
 $v_1 = V_{10}$
 $v_2 = V_{20}$

交流小信号线性分析

晶体管电路的交直流分析

$$\begin{bmatrix} f_B(V_{10}, V_{20}) \\ f_C(V_{10}, V_{20}) \end{bmatrix} + \begin{bmatrix} Y_{11} & Y_{12} \\ Y_{21} & Y_{22} \end{bmatrix} \begin{bmatrix} V_{10} \\ V_{20} \end{bmatrix} + \begin{bmatrix} I_{N10} \\ I_{N20} \end{bmatrix} = 0$$

直流非线性分析
交流小信号源不起作用

$$\left(\begin{bmatrix} \frac{\partial f_B}{\partial v_1} & \frac{\partial f_B}{\partial v_2} \\ \frac{\partial f_C}{\partial v_1} & \frac{\partial f_C}{\partial v_2} \end{bmatrix}_{v_1=V_{10}, v_2=V_{20}} + \begin{bmatrix} y_{11} & y_{12} \\ y_{21} & y_{22} \end{bmatrix} \right) \begin{bmatrix} \Delta v_1 \\ \Delta v_2 \end{bmatrix} + \begin{bmatrix} \Delta i_{N1} \\ \Delta i_{N2} \end{bmatrix} = 0$$

并并连接y相加
交流小信号线性分析
微分元件电路分析

- 直流分析
 - 非线性方程求解，数值解可以用牛顿拉夫逊迭代法
 - 对晶体管电路，原理性分析可以采用分段折线法
 - 只要确定在某区段，如恒流区，则可做分段线性化处理
- 交流小信号分析
 - 晶体管用小信号y参量等效电路替代即可
 - 在直流工作点上获得微分元件
 - 线性分析方法多样，实质是统一的：原则上矩阵求逆即可

恒流区BJT交流小信号分析y参量等效电路模型

$$i_B = f_B(v_{BE}, v_{CE}) = I_{BS0} \left(e^{\frac{v_{BE}}{v_T}} - 1 \right)$$

$$i_C = f_C(v_{BE}, v_{CE}) = \beta I_{BS0} \left(e^{\frac{v_{BE}}{v_T}} - 1 \right) \left(1 + \frac{v_{CE}}{V_A} \right)$$

$$\mathbf{y}_{BJT} = \left[\begin{array}{cc} \frac{\partial f_B}{\partial v_{BE}} & \frac{\partial f_B}{\partial v_{CE}} \\ \frac{\partial f_C}{\partial v_{BE}} & \frac{\partial f_C}{\partial v_{CE}} \end{array} \right]_{v_{BE}=V_{BE0}, v_{CE}=V_{CE0}} = \left[\begin{array}{cc} g_{be} & 0 \\ g_m & g_{ce} \end{array} \right]$$

$$I_{C0} = f_C(V_{BE0}, V_{CE0}) = \beta I_{BS0} \left(e^{\frac{V_{BE0}}{v_T}} - 1 \right) \left(1 + \frac{V_{CE0}}{V_A} \right) \approx \beta I_{BS0} \left(e^{\frac{V_{BE0}}{v_T}} - 1 \right) = \beta I_{B0} = \beta f_B(V_{BE0}, V_{CE0})$$

先直流分析获得直流工作点

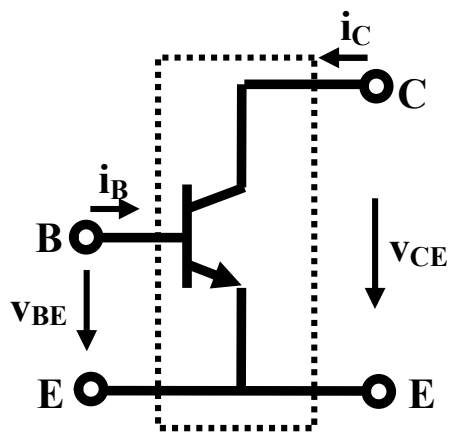
$$g_m = \left. \frac{\partial f_C}{\partial v_{BE}} \right|_{v_{BE}=V_{BE0}, v_{CE}=V_{CE0}} = \frac{\beta I_{BS0}}{v_T} e^{\frac{V_{BE0}}{v_T}} \left(1 + \frac{V_{CE0}}{V_A} \right) \approx \frac{I_{C0}}{v_T}$$

$$g_{be} = \left. \frac{\partial f_B}{\partial v_{BE}} \right|_{v_{BE}=V_{BE0}, v_{CE}=V_{CE0}} = \frac{I_{BS0}}{v_T} e^{\frac{V_{BE0}}{v_T}} \approx \frac{I_{B0}}{v_T} \approx \frac{1}{\beta} \frac{I_{C0}}{v_T} = \frac{g_m}{\beta}$$

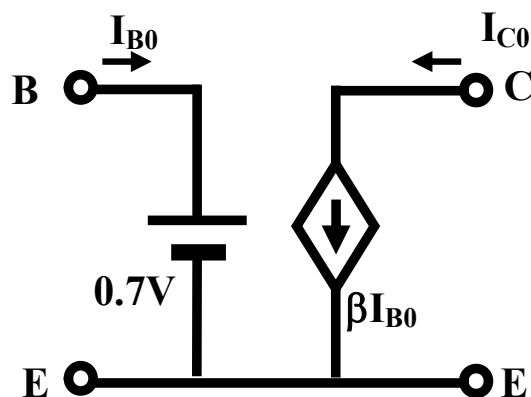
$$g_{ce} = \left. \frac{\partial f_C}{\partial v_{CE}} \right|_{v_{BE}=V_{BE0}, v_{CE}=V_{CE0}} = \beta I_{BS0} \left(e^{\frac{V_{BE0}}{v_T}} - 1 \right) \frac{1}{V_A} \approx \frac{I_{C0}}{V_A}$$

二极管微分电导，由于 I_B 为 μA 量级，微分电导很小，微分电阻很大，分析时不能视为短路（直流分析可0.7V恒压，但交流分析不能视为0内阻） 39

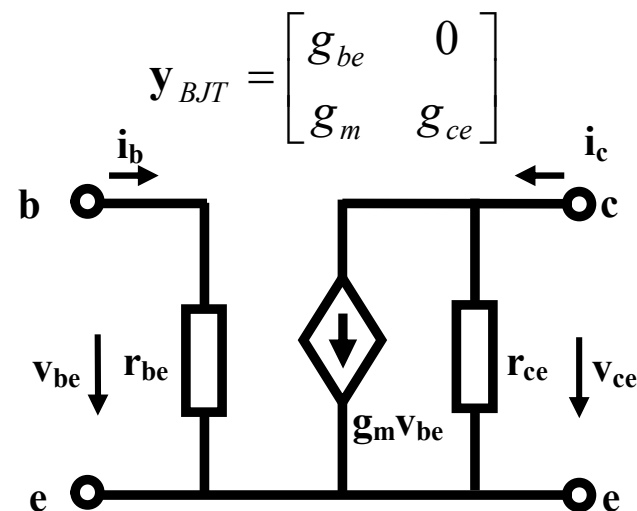
恒流区NPN-BJT交直流分析电路模型



(a) 二端口网络表述



(b) 直流分析电路模型



(c) 交流分析y参量等效电路

恒流区分段折线电路模型

恒流区微分元件电路模型

直流工作点上的微分元件

$$g_m \approx \frac{I_{C0}}{v_T}, r_{be} \approx \beta \frac{1}{g_m}, r_{ce} \approx \frac{V_A}{I_{C0}}$$

$$I_{C0} = \beta I_{B0}$$

微分跨导增益 BE结微分电阻 厄利效应等效电阻

恒流区NMOSFET交流小信号分析y 参量等效电路模型

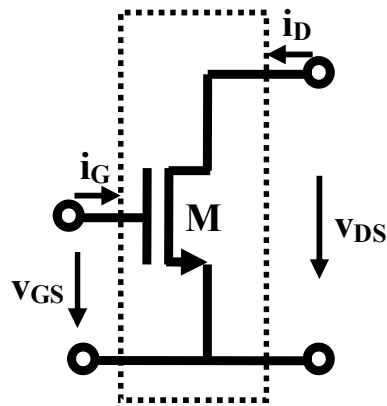
$$i_G = f_G(v_{GS}, v_{DS}) = 0$$
$$i_D = f_D(v_{GS}, v_{DS}) = \beta_n (v_{GS} - V_{TH})^2 \left(1 + \frac{v_{DS}}{V_A}\right)$$
$$\mathbf{y}_{MOSFET} = \begin{bmatrix} \frac{\partial f_G}{\partial v_{GS}} & \frac{\partial f_G}{\partial v_{DS}} \\ \frac{\partial f_D}{\partial v_{GS}} & \frac{\partial f_D}{\partial v_{DS}} \end{bmatrix}_{v_{GS}=V_{GS0}, v_{DS}=V_{DS0}} = \begin{bmatrix} 0 & 0 \\ g_m & g_{ds} \end{bmatrix}$$

$$I_{D0} = f_D(V_{GS0}, V_{DS0}) = \beta_n (V_{GS0} - V_{TH})^2 \left(1 + \frac{V_{DS0}}{V_A}\right) \approx \beta_n (V_{GS0} - V_{TH})^2$$

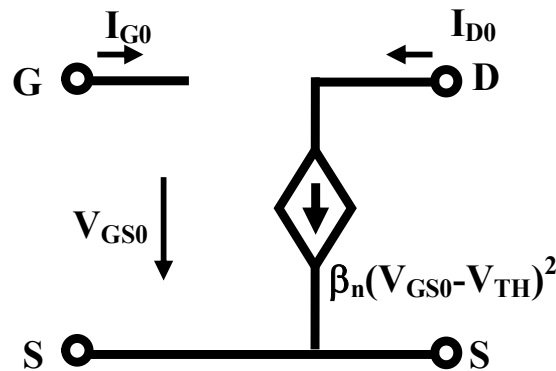
$$g_m = \left. \frac{\partial f_D}{\partial v_{GS}} \right|_{v_{GS}=V_{GS0}, v_{DS}=V_{DS0}} = 2\beta_n (V_{GS0} - V_{TH}) \left(1 + \frac{V_{DS0}}{V_A}\right) = \frac{2I_{D0}}{V_{GS0} - V_{TH}} = \frac{2I_{D0}}{V_{od}}$$

$$g_{ds} = \left. \frac{\partial f_D}{\partial v_{DS}} \right|_{v_{GS}=V_{GS0}, v_{DS}=V_{DS0}} = \beta_n (V_{GS0} - V_{TH})^2 \frac{1}{V_A} \approx \frac{I_{D0}}{V_A}$$

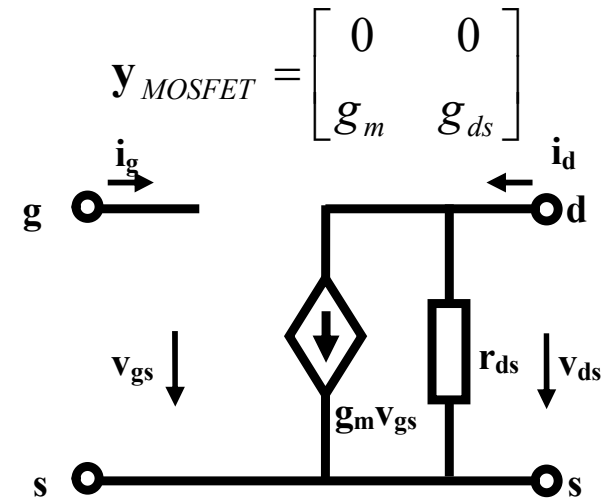
恒流区NMOSFET交直流分析电路模型



(a) 二端口网络表述



(b) 直流分析电路模型



(c) 交流分析y参量等效电路

$$y_{MOSFET} = \begin{bmatrix} 0 & 0 \\ g_m & g_{ds} \end{bmatrix}$$

恒流区分段折线电路模型

恒流区微分元件电路模型

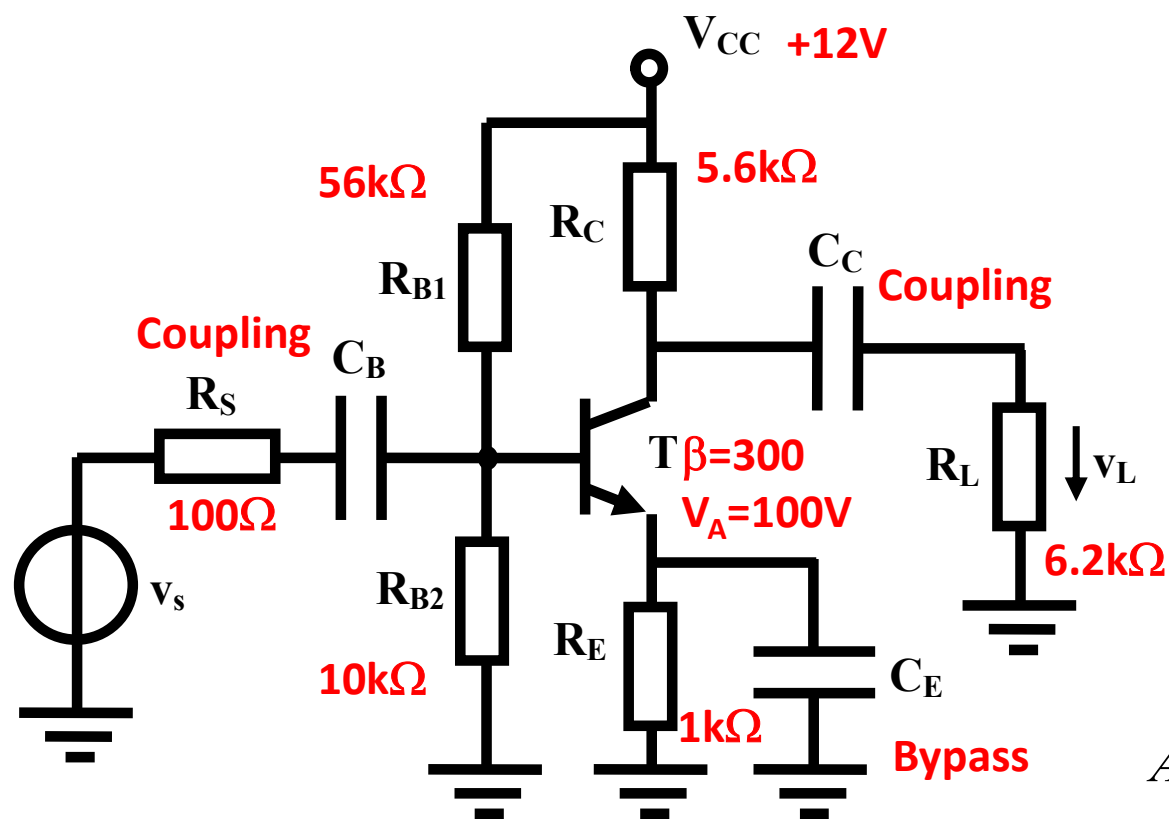
直流工作点上的微分元件

$$g_m \approx \frac{2I_{D0}}{V_{od}}, r_{ds} \approx \frac{V_A}{I_{D0}}$$

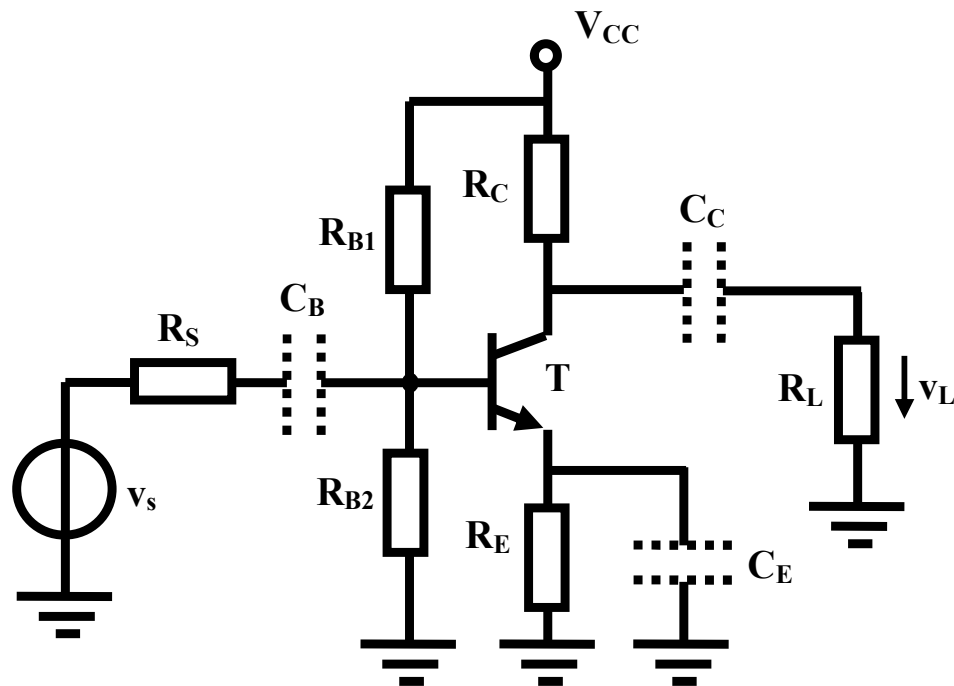
微分跨导增益 厄利效应等效电阻

$$I_{D0} \approx \beta_n (V_{GS0} - V_{TH})^2$$

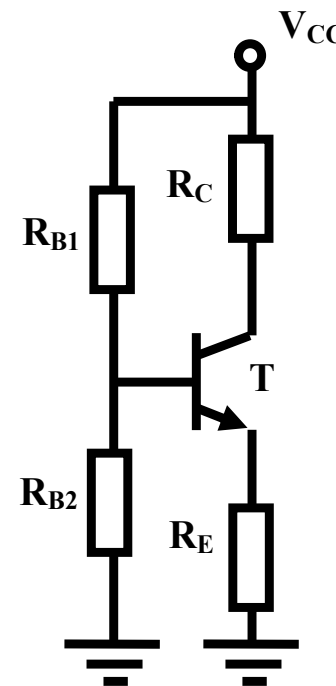
例3 NPN-BJT-CE放大器



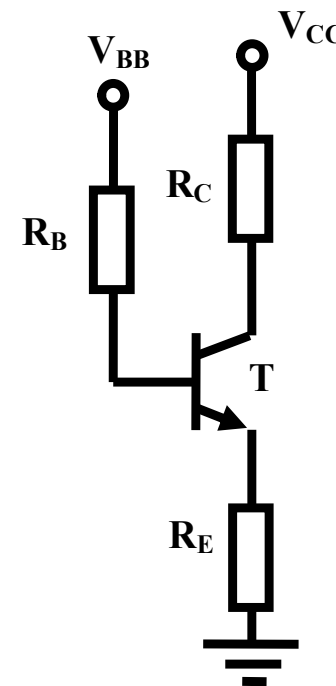
直流分析



耦合电容，直流开路



分压偏置电路



戴维南等效

$$V_{BB} = \frac{R_{B2}}{R_{B1} + R_{B2}} V_{CC} = \frac{10k}{56k + 10k} \times 12 = 1.82(V)$$

$$R_B = R_{B1} \parallel R_{B2} = \frac{10k \times 56k}{10k + 56k} = 8.48(k\Omega)$$

$$I_{B0} = \frac{V_{BB} - 0.7}{R_B + (\beta + 1)R_E} = \frac{1.82 - 0.7}{8.48k + 301 \times 1k} = 3.61(\mu A)$$

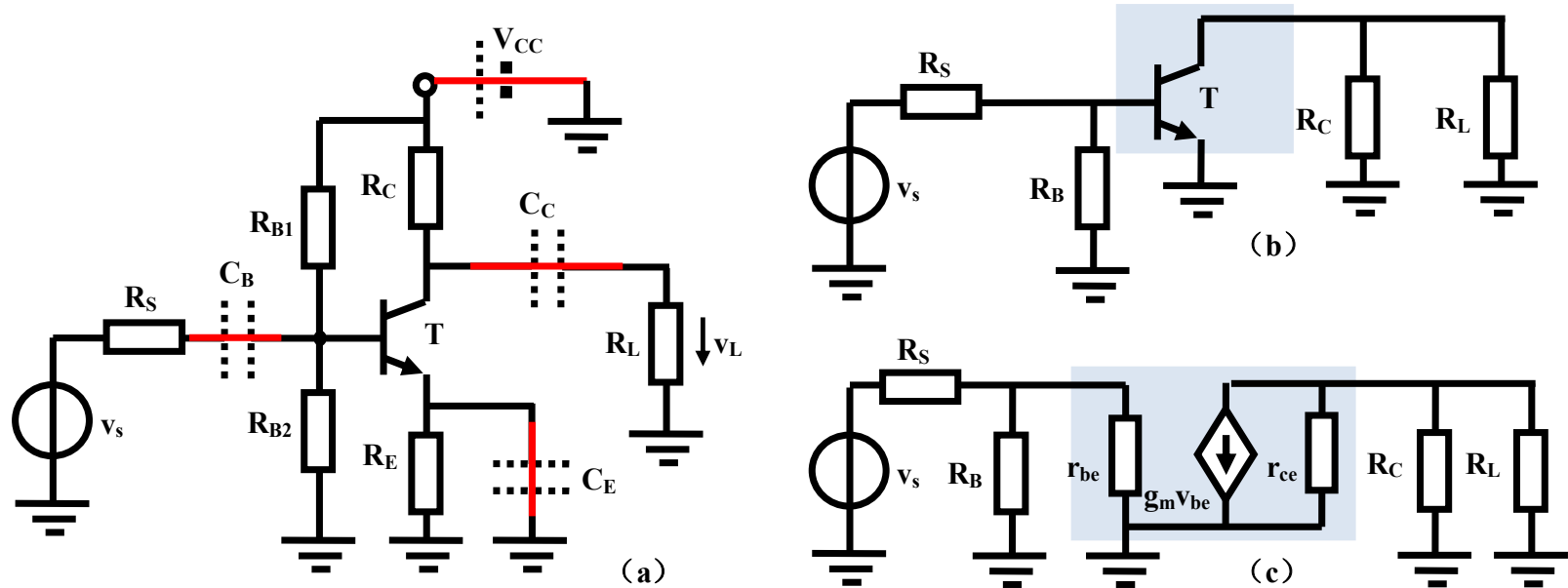
假设晶体管工作在恒流区
 μA 量级电流，二极管微分电阻不可忽略

$$V_{CE0} = V_{CC} - \beta I_{B0} R_C - (\beta + 1) I_{B0} R_E = 12 - (300 \times 5.6k + 301 \times 1k) \times 3.61\mu = 4.84(V) > 0.2V$$

$$I_{C0} = \beta I_{B0} = 300 \times 3.61\mu A = 1.08mA$$

确认在晶体管确实工作在恒流区

交流小信号分析电路模型



保留交流激励源，剩余元件均采用其微分元件替代

$$g_m = \frac{I_{C0}}{v_T} = \frac{1.08mA}{26mV} = 41.5mS$$

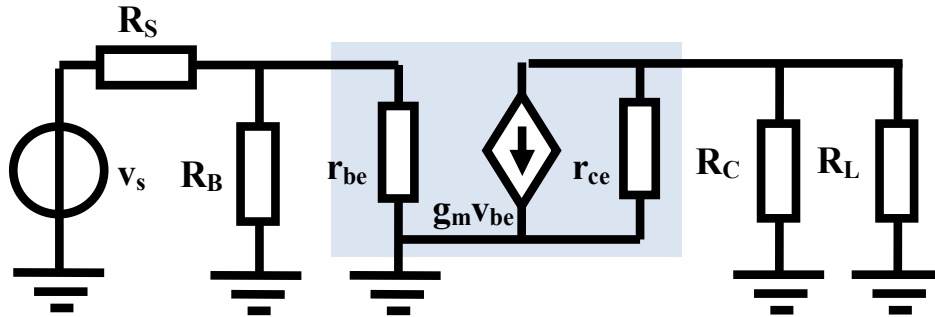
$$r_{be} = \beta \frac{1}{g_m} = 300 \times 24\Omega = 7.22k\Omega$$

$$r_{ce} = \frac{V_A}{I_{C0}} = \frac{100V}{1.08mA} = 92.6k\Omega$$

BJT直流工作点上的微分元件

μA 量级电流，二极管微分电阻 $k\Omega$ 量级，不能视为短路

分析中，能化简的尽量先化简

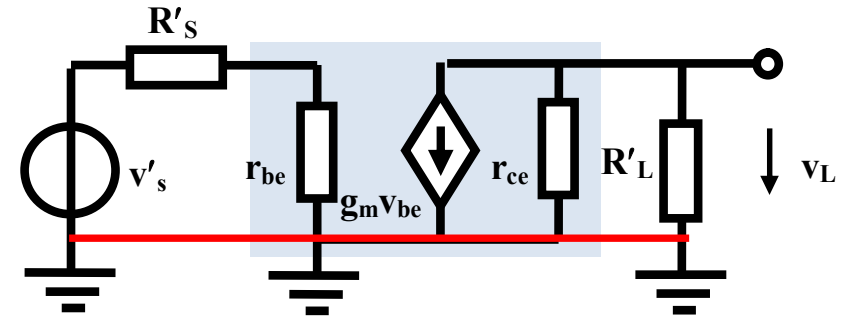


$$v'_S = \frac{R_B}{R_B + R_S} v_S = \frac{8.48k}{8.48k + 0.1k} v_S = 0.988v_S$$

$$R'_L = R_L \parallel R_C = \frac{6.2k \times 5.6k}{6.2k + 5.6k} = 2.94k\Omega$$

$$v_{be} = \frac{r_{be}}{r_{be} + R'_S} v'_S = \frac{7.22k}{7.22k + 0.0988k} \times 0.988v_S = 0.975v_S$$

$$v_L = -g_m v_{be} \times (r_{ce} \parallel R'_L) = -41.5m \times 0.975v_S \times 2.85k = -115v_S$$



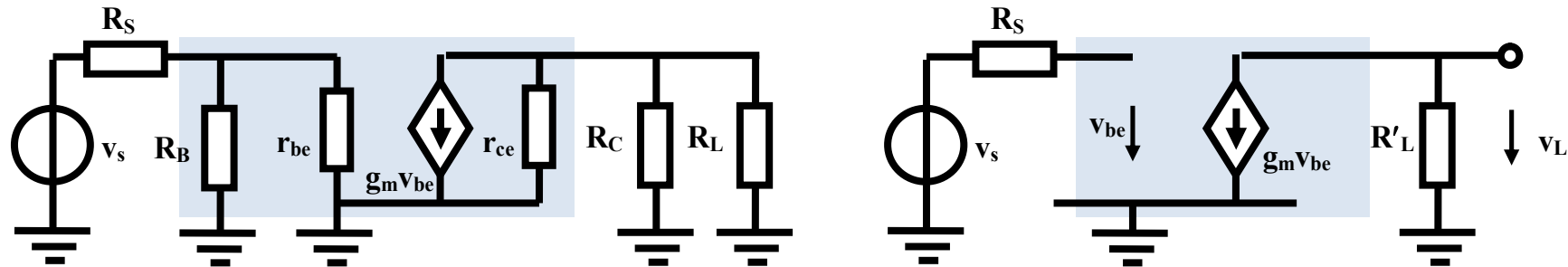
$$R'_S = R_B \parallel R_S = \frac{0.1k \times 8.48k}{8.48k + 0.1k} v_S = 98.8\Omega$$

以确保表达式尽可能简单

$$A_v = \frac{v_L}{v_S} = -115$$

41.2dB的反相
电压放大

高度抽象：CE组态电压放大倍数



$$R_S \ll R_B, r_{be}$$

$$R'_L = R_L \parallel R_C \ll r_{ce}$$

$$\underline{\underline{A_v = -g_m R'_L = -41.5mS \times 2.94k\Omega = -122}}$$

41.7dB的反相电压放大

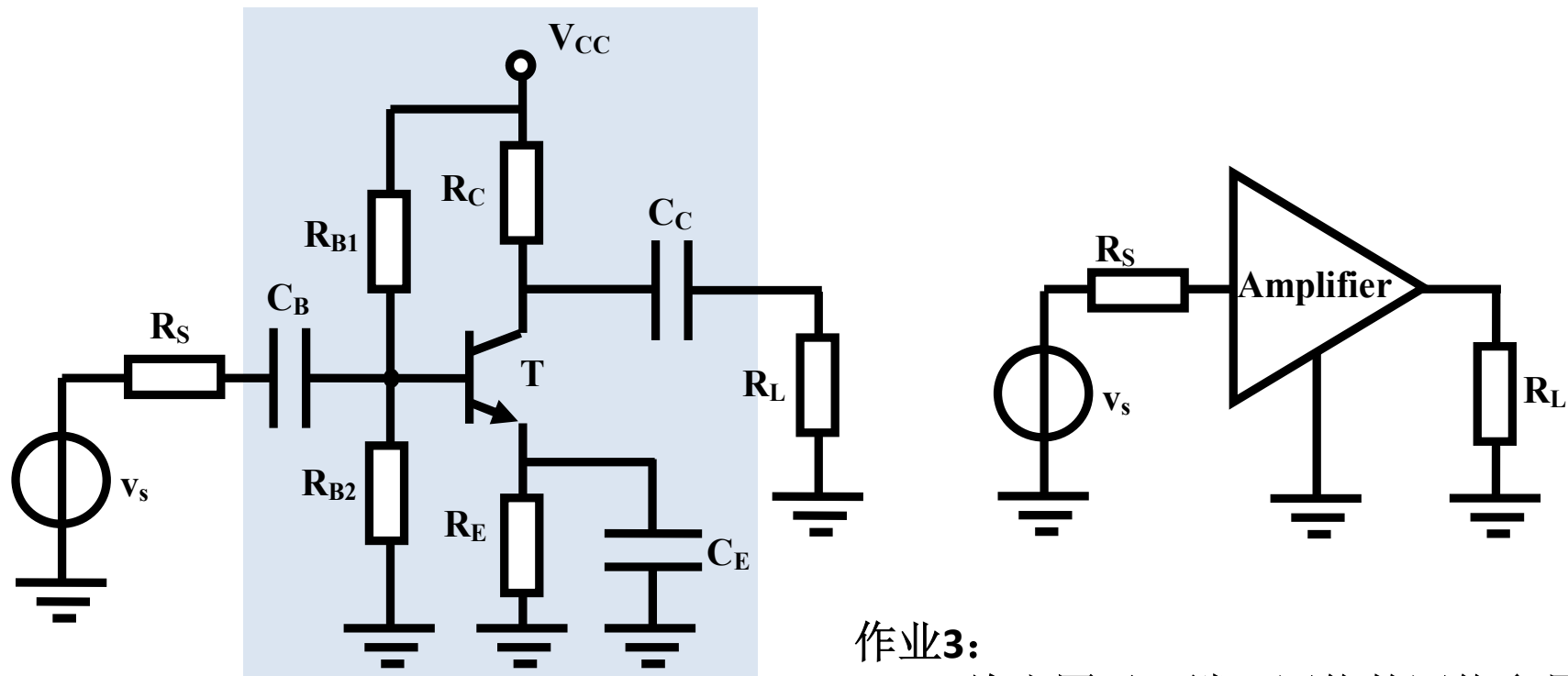
原理性结论：请牢记

$$A_v = \frac{v_L}{v_S} = \frac{r_{ce}}{r_{ce} + R_L \parallel R_C} (-g_m (R_L \parallel R_C)) \frac{R_B \parallel r_{be}}{R_B \parallel r_{be} + R_S} = -115 \quad \text{41.2dB的反相电压放大}$$

$$\approx -g_m R'_L = -122$$

分压系数，分流系数接近于1，晶体管可抽象为理想压控流源，用理想压控流源进行估算，结果可以接受

晶体管放大器抽象



作业3:

- (1) 给出图示二端口网络的网络参量 (自选zyhg之一, 和50欧姆系统下的参量)
- (2) 给出对应参量的等效电路模型
- (3) 求放大器输入阻抗和输出阻抗

作业1、2、3

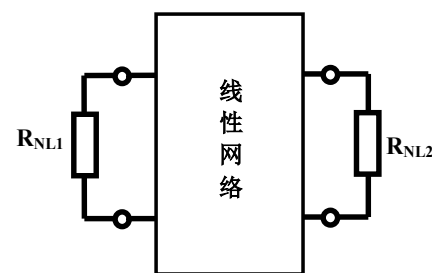
交流小信号放大器网络参量及其对应等效电路

- (1) 给出图示二端口网络的网络参量（交流小信号参量，自选 z y h g 和 s 参量）
 - 负阻放大器 p32图
 - 反射型负阻放大器 p33图
 - CE组态晶体管放大器 p48图
- (2) 给出对应参量的等效电路模型
- (3) 求放大器输入阻抗和输出阻抗
 - 考虑信源内阻、负载电阻的影响
- (4) 根据网络参量具体数值说明其有源性

作业 4

非线性局部线性化

- 练习4.30: 如图所示, 假设某非线性电路中包含两个单端口的非线性电阻器件, 剩余的电路则是线性电阻电路和理想电源构成的线性网络。
 - (1) 假设两个非线性电阻器件都是压控器件, 则二端口的线性网络应该采用什么参量描述比较适当?
 - (2) 假设两个非线性电阻器件都是流控器件, 则二端口的线性网络应该采用什么参量描述比较适当?
 - (3) 假设两个非线性电阻器件一个是压控器件, 一个是流控器件, 则二端口的线性网络应该采用什么参量描述比较适当?
 - (4) 不妨假设两个非线性电阻器件都是流控器件, 并且假设线性网络中的源等效中包含直流分量和交流小信号分量, 请描述该网络的交直流分析全过程。
 - 仿照隧道二极管交直流分析、晶体管交直流分析全过程



作业5 线性范围

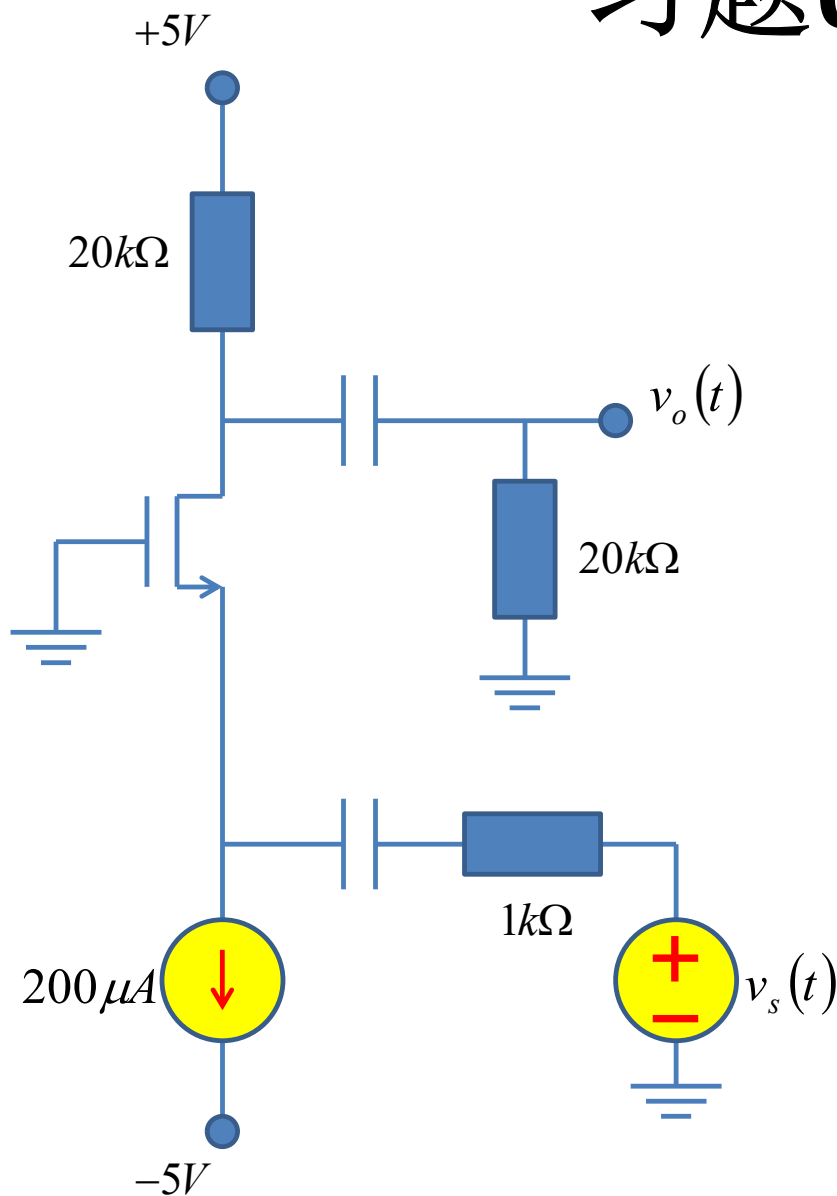
- 已知某非线性电阻器件的伏安特性曲线具有如下特性，

(1)
$$i = I_0 \tanh \frac{v}{2v_T}$$
 v 为输入， i 为输出

(2)
$$y = K_d \sin x$$
 x 为输入， y 为输出

请给出线性范围最大的直流工作点位置，以及**1dB**线性范围大小。

习题6: CG组态放大器



$$i_D = \beta(v_{GS} - V_{TH})^2 \left(1 + \frac{v_{DS}}{V_E}\right)$$

$$\beta = 1\text{mA}/V^2$$

$$V_{TH} = 1V$$

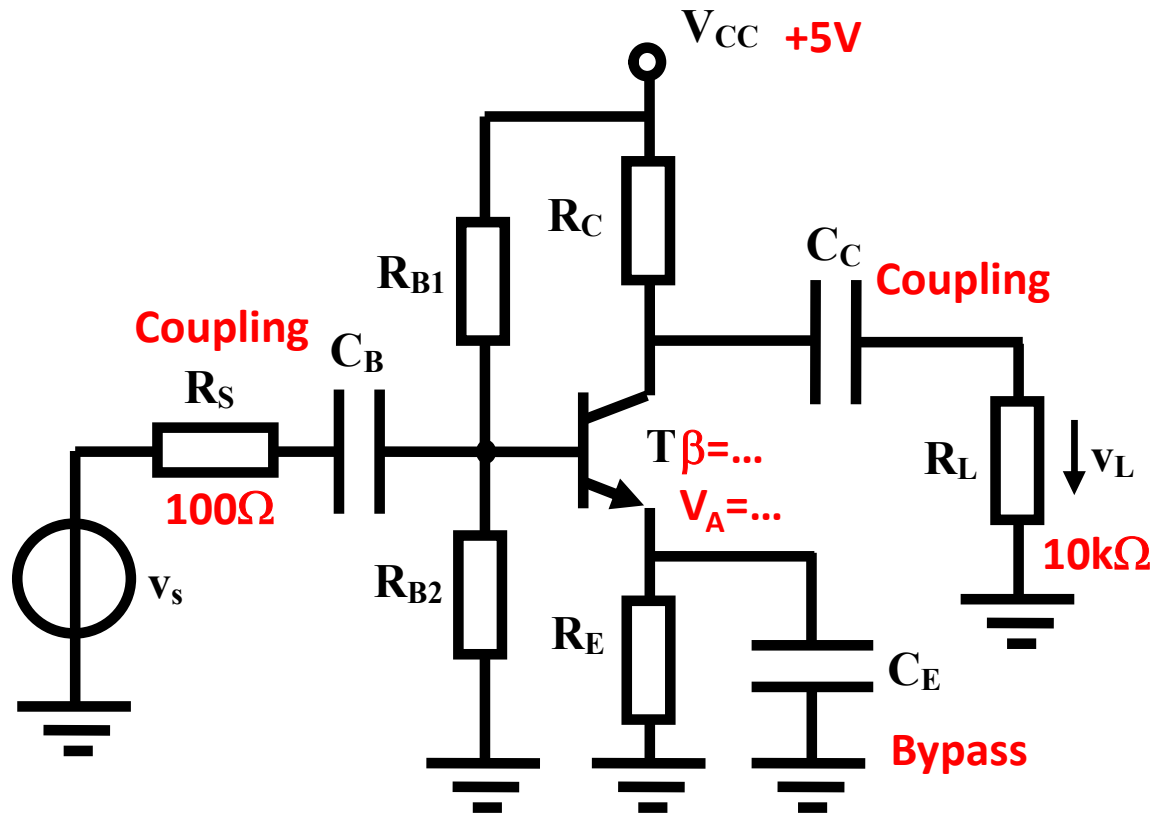
$$V_E = 20V$$

- 确认直流工作点在恒流区
- 求电压放大倍数和功率放大倍数

$$A_v = \frac{v_o}{v_s} \quad G_p = \frac{P_L}{P_{S,\max}}$$

- 选作: 分析说明MOSFET将直流电能转换为交流电能
 - (1) 将电容抽象为直流电压源, 分析每个部件上的电压电流, 说明无交流小信号激励时晶体管消耗的能量多, 有交流小信号激励时, 晶体管消耗的能量降低。可以理解为晶体管将吸收的直流能量转换为交流能量送出去, 被负载电阻吸收
 - (2) 说明晶体管微分元件y参量电路为有源电路

CAD作业



$$A_v = \frac{v_L}{v_S}$$

$$G_T = \frac{P_L}{P_{S,max}}$$

- 库中选**NPN-BJT**(如果没有, 选**NMOS**也可以)
- 设计外围偏置电路, 使得交流小信号电压增益**100**倍
 - 输出电压范围尽可能大: 输入正弦信号幅度增加, 仍然保持正弦波形输出的最大输出幅度越大越好
 - 功率增益尽可能大: 考虑匹配, 考虑折中
 - 工作频率**1kHz-1MHz**范围内, 增益尽可能平坦: 电容影响